



Ruhr-Universität Bochum
Lehrstuhl für Produktionssysteme
Prof. Dr.-Ing. Bernd Kuhlenkötter

Entwicklung eines Frameworks zur simulationsbasierten Validierung LLM-generierten RoboterCodes in Unity

Dem Fachbereich Maschinenbau der
Ruhr-Universität Bochum
zur Erlangung des akademischen Grades eines
Bachelor of Science

eingereichte Bachelor-Thesis

von
Lukas Lux

Erstprüfer: Prof. Dr.-Ing. Bernd Kuhlenkötter
Zweitprüfer: Prof. Dr.-Ing. Christopher Prinz
Betreuer: Daniel Syniawa, M. Sc.

Datum der Einreichung: 10. September 2025

Aufgabenstellung

Thema: Entwicklung eines Frameworks zur simulationsbasierten Validierung LLM-generierten RoboterCodes in Unity

Für den Einsatz von Arbeitsplatzsystemen im Bereich der Montage, an denen Mensch und Roboter miteinander kollaborieren (MRK), gibt es bislang noch keine digitalen Planungswerkzeuge, welche ein MRK-System hinsichtlich Automatisierbarkeit, technisch-wirtschaftlicher Eignung, Ergonomie und Sicherheit simulieren und bewerten können. Um zukünftig die einfache Planung und Simulation von kollaborativen Montagesystemen zu ermöglichen, wird im Forschungsprojekt „KoMPI“ ein digitales Planungswerkzeug entwickelt, sodass sowohl Mensch als auch Roboter gezielt gemeinsam im Montageprozess eingesetzt werden können. Derzeit existieren bereits unterschiedliche Simulationswerkzeuge, die Menschmodelle in manuellen Montagesystemen abbilden. Hierzu zählt bspw. die digitale Planungssoftware EMA der Fa. imk. Bis dato bietet auch EMA keine hinreichenden Möglichkeiten zur Simulation automatisierungstechnischer Komponenten (z. B. Roboter), insbesondere in Kollaboration mit dem Menschen. ... Im Rahmen dieser Arbeit gilt es ...

Im Einzelnen sollten folgende Punkte bearbeitet werden:

- Literaturrecherche zum Thema Mensch-Roboter-Kollaboration (MRK) und Planung kollaborativer Montagesysteme
- ...

Ausgabedatum: 16.06.2025

Inhaltsverzeichnis

1	Einleitung	1
1.1	Motivation und Relevanz	1
1.2	Zielsetzung und Aufbau der Arbeit	1
2	Stand der Technik	2
2.1	Robotersimulation	2
2.1.1	Roboterprogrammierung	2
2.1.2	Offline-Programmierung und Robotersimulationsprogramme . .	2
2.1.3	Landschaft der Offline-Robotersimulationsprogramme	3
2.1.4	Physics-Engines	3
2.2	Large Language Models (LLMs)	4
2.2.1	Funktionsweise und Architektur	4
2.2.2	Programmcodegenerierung durch LLMs	5
2.3	LLMs in der Robotik	6
2.3.1	Aktuelle Forschungsansätze	6
2.3.2	Herausforderungen in der Integration	6
2.3.3	Bestehende Frameworks und Tools	7
3	Framework	9
3.1	Architektur des Frameworks	9
3.1.1	Funktionale Anforderungen	9
3.1.2	Zielsetzung und architektonische Anforderungen	10
3.1.3	Unity3D als Simulationsplattform	11
3.1.4	Systemarchitektur	11
3.1.5	Robot Communication Layer	14
3.2	Implementierung der Module	17
3.2.1	Process Flow Monitor	17
3.2.2	Collision Detection Monitor	19
3.2.3	Singularity Detection Monitor	21
3.2.4	Joint Dynamics Monitor	26
3.3	Testumgebung und -setup	29
3.3.1	Aufbau der Roboterzelle	29
3.3.2	Flange als Visualisierungstool	32
3.3.3	Modellierung in Unity	33
3.4	Datenaufzeichnung und Logging	34
4	Ergebnisse	36
4.1	Überblick und Zielsetzung	36

4.2	Prozessflussüberwachung	37
4.2.1	Testszenario mit veränderter Prozessabfolge	37
4.2.2	Auswertung der Simulation	38
4.3	Auswertung Collision Detection Monitor	40
4.3.1	Abgewandlung des Pfads	40
4.3.2	Auswertung der Simulation	40
4.4	Auswertung Singularity Detection Monitor	43
4.5	Auswertung Joint Dynamics Monitor	44
4.6	Zusammenfassung der Ergebnisse	47
5	Fazit und Ausblick	49
5.1	Zusammenfassung	49
5.2	Ausblick	49
	Anhang	52

Kapitel 1

Einleitung

1.1 Motivation und Relevanz

1.2 Zielsetzung und Aufbau der Arbeit

Kapitel 2

Stand der Technik

2.1 Robotersimulation

2.1.1 Roboterprogrammierung

Die Roboterprogrammierung kann als die Programmierung von industriellen Manipulatoren verstanden werden, die sich durch ihre programmierbaren und anpassungsfähigen Eigenschaften von anderen Maschinen abheben. Roboterprogramme enthalten präzise Anweisungen und Spezifikationen für die Bewegung des Roboters.¹ Der entscheidende Vorteil der Roboterprogrammierung ist somit **Flexibilität**: Roboter können durch einfache Software-Umprogrammierung für völlig unterschiedliche Aufgaben eingesetzt werden, während herkömmliche Steuerungstechnik meist auf fest verdrahtete, starre Abläufe beschränkt ist.

2.1.2 Offline-Programmierung und Robotersimulationsprogramme

Die Ausfallzeiten von industriellen Fertigungsanlagen werden im Allgemeinen möglichst gering gehalten, um profitabel zu operieren. Im Rahmen von Prozessveränderungen oder -verbesserungen ist es jedoch notwendig, neue Arbeitsabläufe, Maschineneinstellungen und auch Roboterprogramme zu testen und zu evaluieren. Das impliziert erhebliche Ausfallzeiten sowie finanzielle und sicherheitstechnische Risiken bei der Ausführung von noch nicht evaluiertem Programmcode auf einem Roboter.² Infolgedessen können Beschädigungen am Roboter, Maschinen, Werkstücken und Umwelt durch Kollisionen oder fehlerhafter Konfiguration des Roboters auftreten.

Die **Offline-Programmierung (OLP)** adressiert diese Risiken, da sie die Entwicklung und Evaluierung von Roboterprogrammen ohne physischen Roboter ermöglicht. Programme werden in einer virtuellen Umgebung erstellt, getestet und iterativ verfeinert. Hierfür werden originalgetreue 3D-CAD-Modelle des Roboters und seiner Umgebung eingesetzt, die vom Hersteller bereitgestellt werden, um den Zielkontext möglichst realitätsnah abzubilden. Ziel ist die frühzeitige Erkennung von Ablaufproblemen und Nebenwirkungen im Prozess³.

¹Vgl. Nilsson 1996, S. 1 ff.

²Vgl. Bilancia et al. 2023, S. 4

³Vgl. Holubek et al. 2014, S. 62 ff.

2.1.3 Landschaft der Offline-Robotersimulationsprogramme

Im Gegensatz zur Werkzeugmaschinenprogrammierung, die auf standardisierten Sprachen wie G-Code basiert, erschwert das Fehlen einer universellen, herstellerunabhängigen Programmiersprache die Integration verschiedener Robotertechnologien in einer Produktionsanlage⁴. Jeder Roboterhersteller verwendet eine eigene Programmiersprache, die sich in Komplexität, Syntax und Semantik unterscheidet. KUKA, ABB, Fanuc und Stäubli setzen beispielsweise jeweils unterschiedliche Sprachen ein, weshalb Unternehmen spezialisiertes Personal benötigen. Zudem müssen Roboterprogrammierer mit eingeschränkten Basisbefehlen und Bibliotheken arbeiten. Diese decken zwar die meisten Standardanforderungen ab, ermöglichen jedoch keine fortgeschrittenen Berechnungen oder komplexen Steuerungsstrategien. Offline-Programmierwerkzeuge wie RoboDK oder Siemens Process Simulate übersetzen 3D-Modellierungsbefehle mithilfe spezifischer Postprozessoren in herstellerspezifische Robotercode. Allerdings unterstützen diese Werkzeuge nicht die vollständigen Funktionsbibliotheken der kommerziellen Robotersprachen und können erfahrene Programmierer bei komplexen Programmerroutinen nicht ersetzen.⁵ Funktional werden Roboterprogramme in einer simulierten Umgebung ausgeführt: von isolierten Zellen (z. B. Bearbeitungsstationen) bis hin zu verketteten Produktionslinien. Externe Faktoren wie verformbare Objekte, Fluide oder Personen (MRK) erhöhen die Komplexität. In realitätsnahen Szenarien (z. B. automatisierte Steckverbindungen in Schaltschränken oder Gießen von Schmelzen) treten materialbedingte Nichtidealitäten auf, die zu Wechselwirkungen mit dem Roboter führen. Eine hinreichend genaue physikalische Modellierung des Zielsystems ist daher Voraussetzung.

2.1.4 Physics-Engines

Mit dem Einsatz von Physics-Engines soll eine Umgebung geschaffen werden, in dem ein nahezu realistisches Bild der Realität digital abgebildet werden kann und so ein digitaler Zwilling eines realen Roboters und seiner Umgebung geschaffen werden. Sie modellieren dynamische Interaktionen wie Kollisionen, Schwerkraft und Reibung, was für die präzise Nachbildung des Roboterhaltens entscheidend ist. Obwohl die Genauigkeit dieser Engines als nicht perfekt angesehen wird, da sie die reale Welt nicht exakt abbilden⁶, sind sie für Forschung und Entwicklung essentiell, um physikalisch anspruchsvolle Prozesse zuverlässig simulieren zu können. Die Wahl der Physics-Engine beeinflusst die Stabilität und Wiederholbarkeit der Simulation. Häufig genutzte Engines sind PhysX, Bullet und ODE, abgebildet in Tabelle 2.1. In der Praxis besteht ein Zielkonflikt zwischen numerischer Stabilität, Reproduzierbarkeit (Determinismus) und physikalischer Genauigkeit. Die Wahl der Engine beeinflusst daher nicht nur die Plausibilität der Dynamik, sondern auch die Vergleichbarkeit von Simulationsergebnissen⁷.

⁴Vgl. Bilancia et al. 2023, S. 4

⁵Vgl. Bilancia et al. 2023, S. 4

⁶Vgl. Audonnet et al. 2022, S. 1 ff.

⁷Vgl. Audonnet et al. 2022, S. 1 ff.

Name	PhysicsEngine	Open Source	ROS-Integration	ML-Support
Gazebo	Bullet, DART, ODE, Simbody	Ja	Ja	Extern
Ignition	DART	Ja	Ja	Extern
Webots	ODE	Ja	Ja	Extern
Isaac Sim	PhysX	Nein	Ja	Integriert
Unity	Havok, PhysX, RaiSim	Nein	Nein	Extern
PyBullet	Bullet	Ja	Nein	Extern
CoppeliaSim (V-rep)	Newton, Bullet, ODE, Vortex Dynamics	Nein	Ja	Extern
Mujoco	Mujoco	Ja	Nein	Extern

Tabelle 2.1: Vergleich verschiedener Robotik-Simulationsplattformen, nach ⁸

2.2 Large Language Models (LLMs)

2.2.1 Funktionsweise und Architektur

Bei grossen Sprachmodellen (LLMs) handelt es sich um statistische Modelle, welche in der Lage sind textuelle Inhalte zu übersetzen, zusammenzufassen, Informationen abzurufen und Konversation zu betreiben. Historisch sind LLMs aus der Möglichkeit, neuronale Netze im Modus des *self-supervised learning* und anhand grosser Mengen textueller Trainingsdaten zu trainieren, entstanden. Dabei haben sich LLMs innerhalb der letzten 10 Jahre aufgrund der hohen Verfügbarkeit digitaler textueller Daten sowie Innovationen im Bereich der Hardware-Technologie zur wichtigsten Technologie im Bereich KI entwickelt. ⁹

Den entscheidenden Durchbruch für moderne LLMs lieferte die Transformer-Architektur, die sequenzielle Abhängigkeiten durch parallele Attention-Mechanismen ersetzt.¹⁰ Der Self-Attention-Mechanismus berechnet für jedes Token die Relevanz zu allen anderen Tokens der Sequenz, wodurch das Modell kontextuelle Beziehungen direkt erfasst, ohne Informationen sequenziell durch versteckte Schichten propagieren zu müssen. Diese Parallelisierung ermöglicht nicht nur schnelleres Training auf den erwähnten großen Datensätzen, sondern schafft auch die Grundlage für das Skalierungsverhalten moderner Sprachmodelle. Folglich basieren aktuelle LLMs wie GPT-4 oder Claude auf dieser Architektur.

⁹Vgl. Naveed et al. 2024, S. 1 f.

¹⁰Vgl. Vaswani et al. 2023, S. 1 ff.

2.2.2 Programmcodegenerierung durch LLMs

Large Language Models haben bemerkenswerte Fortschritte in der automatischen Code-Generierung erzielt und revolutionieren damit die Softwareentwicklung. Code-LLMs sind in der Lage erfolgreich Quellcode aus natürlichsprachlichen Beschreibungen zu generieren. Aktuelle LLMs demonstrieren anhand von empirischen Vergleichen mit HumanEval, MBPP und BigCodeBench Benchmarks, dass sie in der Lage sind progressiv bessere Leistungen bei verschiedenen Schwierigkeitsgraden und Programmieraufgaben zu erzielen.¹¹ Voraussetzungen für die erfolgreiche Programmierung mithilfe von LLMs sind die Inkludierung der Konzepte und Programmiersprachen in die Trainingsdaten des jeweiligen Modells.

Domänenspezifische Code-Generierung stellt LLMs vor besondere Herausforderungen, die ihre praktische Anwendbarkeit erheblich einschränken. Low-Resource-Programmiersprachen und Domain-Specific Languages sind in allgemeinen Datensätzen oft unterrepräsentiert, was zu Datenmangel und erhöhten Hürden durch spezialisierte Syntax führt¹². LLMs zeigen zudem schwächere Leistungen beim Umgang mit domänenspezifischen Bibliotheken¹³; zusätzlicher Kontext (z. B. Repository-Code, Schnittstellenbeschreibungen) ist erforderlich. Diese Problematik betrifft Millionen von Entwicklern - beispielsweise allein 3,5 Millionen Rust-Nutzer können LLM-Funktionen nicht vollständig ausschöpfen. LLMs zeigen ausserdem suboptimale Performance bei domänenspezifischem Code aufgrund ihrer begrenzten Kompetenz mit dem Umgang mit domänenspezifischen Bibliotheken.¹⁴ Folglich benötigen LLMs zusätzlichen Kontext, um Probleme zu lösen, die nicht in ihren eigenen Trainingsdaten verankert sind.

Agentische KI-Systeme entwickeln sich zu einer neuen Generation autonomer Softwareagenten, die komplexe Aufgaben ohne kontinuierliche menschliche Anleitung ausführen können. Diese Systeme adressieren teilweise die zuvor beschriebenen Herausforderungen bei domänenspezifischer Code-Generierung, indem sie über Command-Line-Interfaces und externe Tools Zugang zu spezialisierten Bibliotheken und APIs erhalten. Das Model Context Protocol etabliert sich als offener Standard zur Verbindung von AI-Assistenten mit Datensystemen, Business-Tools und Entwicklungsumgebungen.¹⁵ Viele Softwareentwicklungstools bieten bereits MCP-Unterstützung, um KI-Agenten besseren Zugang zu domänenspezifischen Kontextinformationen und Code-Repositories zu ermöglichen. Die Standardisierung solcher Protokolle kann eine Lösung für die Datenmangel-Problematik bei Low-Resource Programming Languages und Domain-Specific Languages darstellen, wobei die praktische Wirksamkeit noch evaluiert werden muss. Für Robotik-Anwendungen ist dabei entscheidend, dass agentische Systeme nicht nur natürlichsprachliche Spezifikationen interpretieren, sondern deterministische,

¹¹Vgl. Jiang et al. 2024, S. 1

¹²Vgl. Joel et al. 2024, S. 1

¹³Vgl. Gu et al. 2025, S. 1

¹⁴Vgl. Gu et al. 2025, S. 1

¹⁵Vgl. Anthropic 2024

zeitkritische Ausführungspfade erzeugen und an bestehende Steuerungsstacks andocken können.

2.3 LLMs in der Robotik

2.3.1 Aktuelle Forschungsansätze

Die Integration von Large Language Models in die Robotik verfolgt drei komplementäre Paradigmen: Vision-Language-Action Modelle, Code-Generation und Embodied Reasoning.¹⁶

Die zentralen Linien lassen sich knapp gliedern:

- **Vision-Language-Action (VLA):** gemeinsame Repräsentation von Wahrnehmung, Sprache und Aktion.
- **Code-Generierung:** Synthese ausführbarer Kontrollprogramme aus natürlichsprachlichen Spezifikationen.
- **Embodied Reasoning:** multimodale Modelle mit kontinuierlichen Sensordaten und Weltmodellen.

Google DeepMinds RT-2 repräsentiert den Vision-Language-Action Ansatz, bei dem Roboter-Aktionen als Text-Token behandelt und gemeinsam mit visuellen und sprachlichen Daten trainiert werden. Dieser Ansatz ermöglicht emergente Fähigkeiten wie das Verstehen von Zahlen oder Icons ohne explizites Training.¹⁷ Code as Policies verfolgt hingegen die direkte Generierung von ausführbarem Python-Code aus natürlichsprachlichen Befehlen, wobei hierarchische Code-Generation komplexe Kontrollstrukturen wie Schleifen und Bedingungen erzeugt¹⁸. PaLM-E demonstriert einen dritten Weg durch multimodale Embodied Language Models, die Sprache, Vision und kontinuierliche Sensordaten in einem gemeinsamen Embedding-Raum verarbeiten¹⁹. Parallel entwickeln Forscher Brain-Body-Problem Ansätze, die kognitive Architekturen mit physischen Roboterkörpern verbinden, sowie Prompt-basierte Methoden, bei denen LLMs direkt Low-Level-Kontrollaktionen vorhersagen.²⁰ Diese Vielfalt der Ansätze zeigt, dass die Forschung noch keine dominante Architektur etabliert hat²¹ und verschiedene Wege zur Integration von Sprache und Robotik exploriert.

2.3.2 Herausforderungen in der Integration

Die Verankerung abstrakter Sprachkonzepte in physischen Robotersystemen scheitert an drei fundamentalen Problemen. Erstens müssen Roboter symbolische Repräsentationen mit sensomotorischen Erfahrungen verknüpfen - das von Harnad definierte

¹⁶Vgl. Salimpour et al. 2025, S. 2 ff.

¹⁷Vgl. Brohan et al. 2023, S. 1 ff.

¹⁸Vgl. Liang et al. 2023, S. 1 ff.

¹⁹Vgl. Driess et al. 2023, S. 2 f.

²⁰Vgl. Wang et al. 2024, S. 1; Bhat et al. 2024, S. 2

²¹Vgl. Salimpour et al. 2025, S. 3 ff.

Symbol-Grounding-Problem bleibt trotz jahrzehntelanger Forschung ungelöst ²². Zweitens fehlen standardisierte Schnittstellen zwischen hochabstrakten Sprachbefehlen und niedrigstufigen Motorkommandos, wodurch jede Roboterplattform individuelle Übersetzungsmechanismen benötigt. Drittens limitieren Echtzeitanforderungen die Komplexität der Verarbeitung, da Roboter innerhalb von Millisekunden auf Umweltveränderungen reagieren müssen. Moderne Systeme versuchen diese Herausforderungen durch die Integration dreier Wahrnehmungsebenen zu lösen: Interozeption erfasst interne Zustände, Propriozeption überwacht Gelenkstellungen und Bewegungen, während Exterozeption die Umgebung durch Kameras und Sensoren interpretiert ²³. Jedoch führt diese Komplexität zu erhöhtem Rechenaufwand und erschwert die Fehlerdiagnose bei unerwarteten Verhaltensweisen. Folglich benötigen robotische Systeme neue Architekturen, die effizient zwischen abstrakten Sprachmodellen und konkreten Aktionsräumen vermitteln. In der Literatur werden deshalb hybride Architekturen diskutiert, die symbolische Planung, differenzierbare Wahrnehmung und reaktive, zeitkritische Kontrolle kombinieren. Für industrielle Szenarien bleibt die Frage zentral, wie viel Autonomie ein LLM-gestütztes System erhalten kann, ohne Validierbarkeit und Betriebssicherheit zu kompromittieren.

2.3.3 Bestehende Frameworks und Tools

Aktuelle Frameworks standardisieren die Integration von LLMs in robotische Systeme durch modulare Architekturen. ROS-LLM verbindet das Robot Operating System mit verschiedenen Sprachmodellen und transformiert natürlichsprachliche Befehle automatisch in ausführbare Aktionssequenzen ²⁴. Das Framework implementiert drei Ausführungsmodi: sequenzielle Abarbeitung für einfache Aufgaben, Verhaltensbäume für reaktive Systeme und Zustandsautomaten für komplexe Ablaufsteuerungen. Entwickler konfigurieren atomare Aktionen wie das Greifen eines Objektes oder bestimmte Pfadnavigationen, die das LLM dann zu komplexen Verhaltensketten kombiniert. Simulationsumgebungen beschleunigen parallel die Entwicklung durch massiv-parallele GPU-Berechnungen: mit Isaac Sim von NVIDIA lassen sich beispielsweise Tausende Roboterinstanzen gleichzeitig simulieren.²⁵ Solche Plattformen ermöglichen einen theoretischen Zero-Shot-Transfer von der Simulation zur Realität durch systematische simulierte Domänenrandomisierung von Physikparametern, Sensorauschen und Umgebungsvariationen.²⁶ Die Standardisierung solcher Werkzeugketten soll Entwicklungszeiten in Zukunft reduzieren und die Programmierung von Roboter niederschwelliger machen.

²²Vgl. Cohen et al. 2024, S. 1 ff.

²³Vgl. Valenzo et al. 2022, S. 3,13

²⁴Vgl. Mower et al. 2024, S. 1 f.

²⁵Vgl. NVIDIA Corporation 2018

²⁶Vgl. Fickinger et al. 2025, S. 1

Zwischenfazit

Der Stand der Technik zeigt: Offline-Programmierung und physikbasierte Simulation sind etablierte Mittel, um robotische Abläufe vorab zu prüfen; ihre Aussagekraft hängt von Modelltreue und Reproduzierbarkeit der Simulationsumgebung ab. Große Sprachmodelle erweitern das Spektrum um semantische Beschreibung und automatische Synthese von Steuerungslogik, erfordern für domänenspezifische Aufgaben jedoch zusätzlichen Kontext. In der Robotik kristallisieren sich drei Entwicklungsrichtungen heraus (VLA, Code-Generierung, Embodied Reasoning), ohne dass sich eine dominante Architektur abgezeichnet hat. Die Integration in Robotersteuerungen stellt weiterhin Anforderungen an Determinismus, Schnittstellenstandardisierung und Validierbarkeit.

Kapitel 3

Framework

In diesem Kapitel werden die technischen Grundlagen sowie das Vorgehen zur Implementierung des Frameworks beschrieben.

3.1 Architektur des Frameworks

Das entwickelte Framework ist in Unity implementiert und basiert auf einem digitalen Zwilling des Roboters, der die Zustände der einzelnen Achsen und relevanten Systemkomponenten kontinuierlich bereitstellt. Darauf aufbauend sind die Überwachungsmodule (*Monitore*) integriert, die unterschiedliche Aspekte des Roboterhaltens beobachten und als Safety Events dokumentieren.

Im Folgenden wird erläutert, wie das Framework funktional, architektonisch und algorithmisch implementiert ist. Wichtig dabei sind dabei folgende Annahmen zu beachten, die sich in Kapitel 3.3.1 wiederfinden: Als Testobjekt wird ein ABB IRB 6700-235/2.65 Roboter verwendet. Dabei handelt es sich um einen Knickarmroboter mit 6 Freiheitsgraden und 6 Gelenken.¹ Dieser wird in RobotStudio Version 2025.3 simuliert und mittels eines OmniCore-Controllers gesteuert.

3.1.1 Funktionale Anforderungen

Die funktionalen Anforderungen an das Framework lassen sich in zwei Hauptkategorien unterteilen: die **Echtzeitüberwachung kritischer Roboterzustände** und Programmablaufereignisse sowie die **systematische Protokollierung** der auftretenden Ereignisse.

Überwachungsfunktionen

Das Framework muss vier zentrale Überwachungsfunktionen implementieren:

1. **Kollisionserkennung:** Identifikation von Kontakten zwischen Roboterkomponenten und Objekten in der Arbeitsumgebung sowie Selbstkollisionen zwischen benachbarten Gliedern der kinematischen Kette.
2. **Singularitätserkennung:** Frühzeitige Erkennung kinematischer Singularitäten (Handgelenk-, Schulter- und Ellbogensingularitäten), die zu Kontrollverlust oder undefinierten Bewegungen führen können.

¹Vgl. ABB Robotics 2025

3. **Prozessflussüberwachung:** Validierung der korrekten Abfolge von Bearbeitungsstationen für Werkstücke und Erkennung von Abweichungen von der spezifizierten Sequenz.
4. **Gelenkdynamiküberwachung:** Kontinuierliche Überprüfung von Gelenkwinkeln, -geschwindigkeiten und -beschleunigungen auf Grenzwertüberschreitungen, insbesondere während der Handhabung von Werkstücken.

Systematische Ereignisprotokollierung

Mithilfe des Frameworks soll es möglich sein, die genannten Fehlerarten systematisch debuggen zu können und die Fehlersuche in Roboterprogrammcode zu vereinfachen. Neben der reinen Erkennung ist die folglich eine formalisierte Dokumentation der Ereignisse notwendig. Jedes detektierte Ereignis soll mit entsprechenden Metadaten zum aktuellen Status des Roboters angereicht werden. Folgende Metadaten lassen sich nach initialem Testen mithilfe der zur Verfügung stehenden Tools extrahieren:

- **Zeitlicher Kontext:** Präziser Zeitstempel des Ereignisses mit Millisekunden-Auflösung
- **Räumlicher Kontext:** Vollständige Gelenkwinkelkonfiguration und TCP-Position zum Ereigniszeitpunkt
- **Programmkontext:** Aktuelles Modul, Routine und Programmzeile der Robotersteuerung
- **Ereignisspezifische Daten:** Je nach Ereignistyp relevante Zusatzinformationen (Kollisionspunkt, Singularitätstyp, Sequenzabweichung, Grenzwertüberschreitung)

Diese strukturierte Erfassung ermöglicht die nachgelagerte genaue Auswertung der vorhandenen Daten und soll das Debuggen des Programmcodes und das Erkennen von Schwachstellen erleichtern.

3.1.2 Zielsetzung und architektonische Anforderungen

Der Stand der Technik aktueller Simulationsplattformen für Roboter zeigt, dass virtuelle Steuerungen und damit zusammenhängende Simulationsplattformen herstellerspezifisch entwickelt und mit Ausnahme von ROS keine einheitliche Schnittstelle zur Kommunikation mit externen Plattformen oder Physik-Engines bieten. Somit muss für jeden Robotertyp ein designierter Konnektor genutzt werden, um diesen mit einer externen, herstellerunabhängigen Simulationplattform zu verbinden. Um eine herstellerunabhängige und erweiterbare Plattform zu entwickeln, sollte also eine gemeinsame Schnittstelle implementiert werden.

Zusammenfassend verfolgt die Architektur des Frameworks drei zentrale Ziele:

1. **Vendor-Agnostik:** Abstraktion verschiedener Roboterhersteller durch einheitliche Interface-basierte Architektur ohne herstellerspezifische Abhängigkeiten im Kern-Framework
2. **Modulare Erweiterbarkeit:** Plugin-System für Safety Monitoring Module und Kommunikationsprotokolle ohne Änderungen der bestehenden Architektur
3. **Echtzeitfähige Kommunikation:** Latenzarme Datenübertragung für Motion Control und ereignisbasierte Sicherheitsüberwachung

3.1.3 Unity3D als Simulationsplattform

Unity3D wird in dieser Arbeit ausschließlich als *Simulationslaufzeit* verwendet. Die Engine stellt Szene, Physik und Rendering bereit und bietet dank ihrer ausgereiften 3D/Physik-Infrastruktur eine plattformübergreifende Grundlage für den digitalen Zwilling des Roboters.² Die eigentliche Anwendungslogik wird durch klar definierte Adapter von der Engine entkoppelt, wodurch eine strikte Trennung zwischen Simulation und Domäne gewahrt bleibt. Asynchrone Abläufe im Update-Loop dienen lediglich der Taktung und greifen nicht direkt auf Unity-APIs zu. Die Wahl von Unity begründet sich zudem durch die breite Tooling-Unterstützung und die Möglichkeit, sowohl visuelle als auch programmatische Arbeitsabläufe zu kombinieren.³

3.1.4 Systemarchitektur

Das entwickelte Framework implementiert eine vierschichtige Architektur, die eine klare Trennung der Verantwortlichkeiten gewährleistet (siehe Abbildung 3.1). Diese Strukturierung folgt etablierten Software-Engineering-Prinzipien, um Wartbarkeit und Erweiterbarkeit zu gewährleisten.

²Vgl. Andaluz et al. 2016, S. 247

³Vgl. Bartneck et al. 2015, S. 431

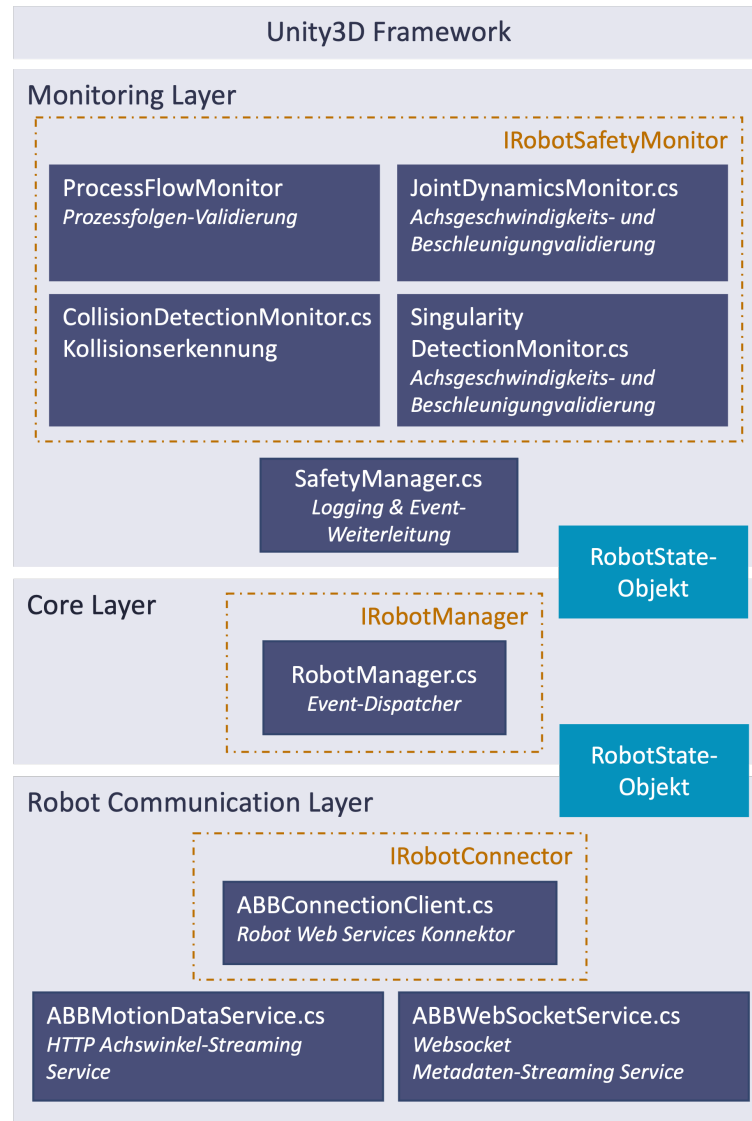


Abbildung 3.1: Schichtenarchitektur des Frameworks. Orange umrandete Module implementieren formalisierte Interfaces (**IRobotSafetyMonitor**, **IRobotConnector**). Das **RobotState-Objekt** dient als gemeinsame Datenstruktur zwischen den Schichten.

Die Architektur gliedert sich in vier logisch getrennte Schichten:

1. **Unity3D Framework**: Bereitstellung der Simulationsumgebung und Physics-Engine
2. **Monitoring Layer**: Implementierung der Sicherheitsmonitore
3. **Core Layer**: Zentrales State-Management und Event-Koordination
4. **Robot Communication Layer**: Adapter für herstellersizifische Robotersteuerungen

Unity3D Framework (Simulationsschicht)

- **Zweck:** Bereitstellung der Simulationslaufzeit.
- **Verantwortung:** Taktung des Systems (Update-Loop), Szenenhosting und Bootstrap der Adapter. Abseits des Szenenlayouts und der Darstellung der Objekte soll hier keine tiefergehende Prozesslogik implementiert werden.
- **Schnittstellen:** Registrierung der Adapter über ein Dependency-Injection-Konzept; Monitore greifen nicht direkt auf Engine-APIs, lediglich Collider-Objekte werden weitergegeben.

Core Layer

- **Zweck:** Domänenkern für den Roboterzustand und die Ereignisverteilung.
- **Verantwortung:** Aktualisierung des `RobotState`, Verteilung von Zustandsänderungen an registrierte Monitore (Observer) und Aggregation von `SafetyEvents`.
- **Schnittstellen:** `RobotManager`, `RobotSafetyManager` und `RobotState` bilden die Kernklassen für Dispatch und Aggregation ⁴.

Monitoring Layer

- **Zweck:** Kapselung der Prüfregele als Policies für einzelne Fehlertypen (Kollision, Prozessfolge, Singularität, Dynamik).
- **Verantwortung:** Erzeugung normalisierter `SafetyEvents` und Meldung von Grenzverletzungen.
- **Schnittstellen:** Einheitliches Kerninterface `IRobotSafetyMonitor` definiert die Bindung für alle Monitore.

Der `RobotManager` im Core Layer fungiert als zentraler Event-Dispatcher, der Zustandsänderungen an alle registrierten Monitoring-Komponenten propagiert. Diese Implementierung des Observer Patterns ermöglicht eine lose Kopplung zwischen den Komponenten⁵: Die Sicherheitsmonitore müssen lediglich das `IRobotSafetyMonitor`-Interface implementieren und können zur Laufzeit dynamisch registriert oder entfernt werden, ohne andere Systemteile zu beeinflussen.

Die in Abbildung 3.1 orange markierten Module definieren standardisierte Interfaces, die als Verträge zwischen den Schichten dienen. Diese Interface-basierte Abstraktion realisiert das Open-Closed Principle, welches festlegt, dass Komponenten einerseits offen für Erweiterung sein sollen, andererseits geschlossen für Veränderung⁶: Neue

⁴Vgl. Gamma et al. 1994, S. 293 f.

⁵Vgl. Gamma et al. 1994, S. 293-303

⁶Vgl. Martin 2003

Robotertypen können durch Implementierung des `IRobotConnector`-Interfaces integriert werden, ohne den Core Layer zu modifizieren. Analog können zusätzliche Sicherheitsmonitore über das `IRobotSafetyMonitor`-Interface hinzugefügt werden. Diese Architekturentscheidung gewährleistet, dass das System für Erweiterungen offen bleibt, während die Kernfunktionalität stabil und unverändert bleibt.

Die Kommunikation zwischen den Schichten erfolgt ereignisgesteuert über das `RobotState`-Objekt als gemeinsame Datenstruktur. Die Communication Layer aktualisiert kontinuierlich den Roboterzustand durch WebSocket-Events für Metadaten und HTTP-Polling für Bewegungsdaten. Der `RobotManager` verteilt diese Zustandsänderungen asynchron an alle registrierten Observer. Diese Event-Driven Architecture adressiert die Anforderungen an ein erweiterbares und gleichzeitiges Nachrichtenfluss-Modell. So lassen sich Events an mehrere Teilnehmer gleichzeitig weitergeben und verarbeiten, ohne dabei auf den Processing-Zyklus zu warten. Weiterführend werden Events getrennt voneinander verarbeitet, das heisst der Main-Thread muss nicht auf die Fertigstellung der Abarbeitung von Events durch Empfänger warten.⁷

Der `SafetyManager` aggregiert die von den Monitoren generierten Sicherheitsereignisse und implementiert eine kontextabhängige Logging-Strategie. Bei laufendem Roboterprogramm werden detaillierte JSON-Logs für spätere Analyse erstellt, während im Idle-Zustand nur kritische Ereignisse in die Konsole geloggt werden. Diese Differenzierung optimiert sowohl die Performance als auch die Nachvollziehbarkeit von Sicherheitsvorfällen.

Die gewählte Schichtenarchitektur ermöglicht die unabhängige Entwicklung und Testung einzelner Komponenten. Horizontale Erweiterungen (neue Monitore) und vertikale Erweiterungen (neue Robotertypen) können ohne ungewollte Seiteneffekte auf bestehende Komponenten implementiert werden.

3.1.5 Robot Communcation Layer

Die Robot Communication Layer organisiert die Kommunikation mit der zugrundeliegenden Robotersteuerung und implmentiert eine Interface des Typs `IRobotConnector`. Als Verbindungsclient zwischen Unity und externer Schnittstelle des Robotersystems implementiert dieser eine `IRobotConnector` Interface, welche als Vorlage für eine Anbindung an eine Robotersteuerung jedes Typs fungiert und standartisierte Methoden implementiert:

⁷Vgl. Hohpe 2006, S. 1 ff.

```

namespace RobotSystem.Interfaces
{
    public interface IRobotConnector
    {
        event System.Action<RobotSystem.Core.RobotState> OnRobotStateUpdated;
        event System.Action<bool> OnConnectionStateChanged;

        bool IsConnected { get; }
        RobotSystem.Core.RobotState CurrentState { get; }

        void Connect();
        void Disconnect();
    }
}

```

Abbildung 3.2: Implementierung der IRobotConnector-Interface als Verbindung zwischen RobotState und Roboter-Controller

Eine Interface lässt sich anhand dieses Beispiels in **3 Funktionsbereiche** aufteilen: Events, Attribute und Methoden.

Die Interface definiert **Events (Aktionen)** die bei definierten Zustandsänderungen in der Laufzeit ausgeführt werden. Andere Bestandteile des Framework sind in der Lage, ein Event zu abonnieren und eine Methode registrieren, welche ausgeführt werden soll, wenn dieses Event auftritt. Ist dies der Fall, wird das entsprechende Modul über die Änderung benachrichtigt und bekommt gegebenenfalls neue Daten zur Verfügung gestellt. Diese event-getriebene Kommunikation sorgt dafür, dass einerseits alle Komponenten proaktiv auf den neusten Stand der Daten gebracht und gehalten werden, andererseits aber keine ressourcenblockierenden Prozesse ausgeführt werden müssen, um gegebenenfalls Statusänderungen abzufragen.

Weiterführend definiert die Interface IRobotConnector **Attribute**, welche den aktuellen Verbindungsstatus (verbunden = `true`, getrennt = `false`) speichern sowie das State-Objekt des Roboters. Definiert durch die schreibgeschützten, automatisch implementierte Eigenschaft mit einem Getter { `get;` } können Attribute auch von ausserhalb des RobotConnectors abgefragt werden, jedoch nicht überschrieben.

Zuletzt gibt die Interface die Methoden **Connect** und **Disconnect** vor, welche hier die wichtigsten Methoden zum Verbinden und Trennen von der jeweiligen Robotersteuerung darstellen.

Als initiale Komponente wird eine Verbindung zum Controller eines Roboters benötigt, um den Roboter in Unity emulieren zu können und Daten zu verarbeiten. Dazu wird hier mittels eines HTTP-Clients zur Schnittstelle des RobotStudioSDKs über die API RobotWebServices (RWS) eine Verbindung aufgebaut. Die Verbindung zu RobotWebServices entsteht durch einen HTTP-Client und der Authentifizierung mit in RobotStudio festgelegten Zugangsdaten. Anschliessend kann über einen erhaltenen

Cookie die Verbindung aufrechterhalten werden und aktuelle Daten über den Roboter sowohl abgefragt, also auch der Roboter selbst gesteuert werden.⁸

Die RWS-Schnittstelle bietet einerseits die Möglichkeiten, aktuellen Achswinkel und TCP-Werte (Tool Center Point) abzurufen, als auch weitere Metadaten, wie das aktuell laufende Programm, den aktuellen Motorstatus oder auch die Codezeile, welche aktuell vom Programmzeiger ausgeführt wird. Weiterführend bietet RWS die Möglichkeit, die aktuelle digitale und analoge Signale abzurufen, was nötig ist, um den Greifer steuern zu können.

Bei den oben genannten Daten mit Ausnahme der Achswinkel handelt es sich um Parameter, welche sich im Laufe eines Programmablaufs vergleichsweise selten verändern. Daher wird hier auf den Websockets-Endpunkt von RWS zugegriffen, um innerhalb einer Duplex-Kommunikation sich verändernde Signale oder auch Programmstatus zu empfangen. Dazu wird mithilfe des HTTP-Clients eine Anfrage zur Subscription auf verschiedene Parameter (bspw. den ProgrammPointer) gestellt, und anschliessend eine Websockets-Session aufgebaut. Die Achswinkel werden zeitgleich über eine asynchron endlosen Task in einer in Unity definierbaren Frequenz abgefragt.

Der Client implementiert dabei die Interface IRobotConnector und gibt ein RobotState-Objekt mit den empfangenen Daten an den RobotManager weiter, welcher hier als zentraler Koordinator des aktuellen RobotState fungiert.

Event-Driven Architecture Das System nutzt ein durchgängiges Event-System für lose Kopplung:

- OnRobotStateUpdated: Zustandsänderungen
- OnConnectionStateChanged: Verbindungsstatus
- OnSafetyEventDetected: Sicherheitsereignisse
- OnMotorStateChanged: Motorstatusänderungen

SafetyEvent und RobotStateSnapshot Als für die Auswertung der Simulationsergebnisse relevantes Teil des Frameworks wird eine SafetyEvent-Objekt implementiert. Jedes Mal, wenn ein Ereignis, welches mit der tatsächlichen Simulation eines Roboterprogramms zusammenhängt, auftritt, wird ein SafetyEvent instanziiert. Dieses wird initial von der jeweiligen überwachenden Komponente (einem SafetyMonitor) instanziiert und mit dem aktuellsten RobotState als unveränderliches Objekt (RobotStateSnapshot) befüllt. Weiterführend erhält es vom jeweiligen SafetyMonitor variierende Kontextinformationen, die später für die Auswertung des Ereignisses verwendet werden. Zusammenfassend besteht ein SafetyEvent aus folgenden Komponenten:

- **SafetyEvent:** Unveränderliches Value Object für Sicherheitsereignisse
- **RobotStateSnapshot:** Immutable Zustandserfassung zum Ereigniszeitpunkt

⁸Vgl. ABB

- **Ereignistypen:** Info, Warning, Critical mit konfigurierbaren Schwellwerten
- **Kontextdaten:** Vollständige Roboterzustandserfassung für Forensik

Einordnung Die folgenden Kapitel beschreiben die Implementierung der vier Monitore auf Basis der zuvor skizzierten Schichten. In Kapitel 4 werden die Ergebnisse anhand gezielter Testszenarien dargestellt und in gekürzten Log-Auszügen (*minted*) veranschaulicht.

3.2 Implementierung der Module

Überblick

Zur Orientierung sind die im Framework implementierten Monitore in Tabelle 3.1 zusammengefasst. Die Tabelle zeigt Ziel, Eingabedaten und Art der generierten Events. Dadurch wird die Einordnung der folgenden Abschnitte erleichtert.

Monitor	Ziel	Eingabedaten / Events
Prozessfolgen	Einhaltung der definierten Abfolge von Arbeitsschritten	Aktuelle Sequenz, Soll-Sequenz / Event bei Abweichung
Kollisionen	Erkennung von Zusammenstößen zwischen Roboter und Umgebung	Geometrieinformationen / Event mit Schweregrad und beteiligten Objekten
Singularitäten	Detektion von Wrist-, Elbow- und Shoulder-Singularitäten	Gelenkwinkel, Jacobian / ENTERING- und EXITING-Events mit Manipulierbarkeit
Gelenkgeschwindigkeiten	Überwachung von Winkel-, Geschwindigkeits- und Beschleunigungsgrenzen	Gelenkwinkel / exceeded- und resolved-Events bei Grenzwertverletzung

Tabelle 3.1: Überblick über die implementierten Monitore im Framework

3.2.1 Process Flow Monitor

Theoretische Grundlagen der Prozessflussüberwachung

Die Überwachung von Produktionsabläufen in der Robotik basiert auf der Validierung deterministischer Werkstückpfade durch diskrete Fertigungsstationen. In der Literatur werden solche Systeme als Discrete Event Systems (DES) modelliert, bei denen Zustandsübergänge durch definierte Ereignisse ausgelöst werden.⁹

⁹Vgl. Cassandras und Lafortune 2021, S. 39 f.

Praktisches Vorgehen

Das System modelliert den Fertigungsprozess durch zwei zentrale Domänenobjekte. Die **Part**-Klasse repräsentiert Werkstücke mit eindeutiger ID, Name und Typ. Jedes Werkstück speichert seine erforderliche Bearbeitungssequenz als Array von Station-Referenzen und verfolgt seinen aktuellen Fortschritt durch einen Sequenzindex. Die **Station**-Klasse definiert Bearbeitungsbereiche durch Trigger-Collider an den physischen Positionen der Arbeitsstationen. Jede Station besitzt einen eindeutigen Namen und numerischen Index zur Sortierung.

Die Prozesspfade werden deklarativ im Unity-Inspector durch Zuweisung der Station-Referenzen definiert. Diese Konfiguration ermöglicht die flexible Modellierung verschiedener Fertigungsabläufe ohne Programmänderungen. Zur Laufzeit validiert das System automatisch die Einhaltung der definierten Sequenzen und protokolliert jeden Stationsbesuch mit Zeitstempel für spätere Analysen.

Die Schwierigkeit liegt hier in der korrekten Interpretation von Trigger-Events unter Berücksichtigung der dynamischen Objekthierarchie. Wenn ein Werkstück gegriffen wird, wechselt es in Unity vom Weltkoordinatensystem in das lokale Koordinatensystem des Greifers. Diese Hierarchieänderung erzeugt scheinbare Ein- und Austritts-Events an Stationen, die nicht als Prozessübergänge interpretiert werden dürfen.

Der Monitor implementiert daher eine Grip-State-Awareness, die vier relevante Zustandsübergänge unterscheidet: Ablegen (Validierung der Zielstation), Aufnehmen (Protokollierung der Quellstation), Transport (wird ignoriert) und ungegriffene Bewegungen (Fehlererkennung). Diese Unterscheidung erfolgt durch hierarchische Analyse der Transform-Komponente - ein Werkstück gilt als gegriffen, wenn es Kind-Objekt des Roboters ist.

Die Implementierung nutzt ein Layer-System zur Ereignisfilterung. Werkstücke operieren auf Layer 30 (Parts), Stationen auf Layer 31 (ProcessFlow). Diese Trennung ermöglicht selektive Trigger-Erkennung ohne Interferenz mit der physikalischen Kollisionserkennung des Roboters.

Konkrete Implementierung

Der **ProcessFlowMonitor** koordiniert die Überwachung durch Subscription auf Station-Events. Bei jedem Trigger-Event korreliert er den Grip-State mit der Werkstückbewegung und validiert Transitionen gegen die definierte Sequenz. Der Monitor klassifiziert drei Fehlertypen: **WrongSequence** für nicht-sequenzielle Bewegungen, **SkippedStation** für übersprungene Stationen und **UnknownStation** für undefinierte Ziele.

Bei Erkennung eines Prozessfolgenfehlers generiert der Monitor ein **SafetyEvent** mit vollständigen Metadaten. Die Schweregrade sind konfigurierbar - standardmäßig werden

falsche Sequenzen als kritisch und übersprungene Stationen als Warnungen klassifiziert. Ein Cooldown-Mechanismus verhindert mehrfache Meldungen identischer Verletzungen. Das Event wird an den **RobotSafetyManager** weitergeleitet, der es mit dem aktuellen Roboterzustand anreichert und gemäß der konfigurierten Logging-Strategie verarbeitet.

Die Überwachung der Prozessfolgen ist insbesondere in realen Produktionsszenarien relevant, da eine fehlerhafte Reihenfolge zu Sicherheitsrisiken oder Ausschuss führen kann. In Kapitel 4.2 wird ein Beispiel gezeigt, in dem eine bewusst abweichende Abfolge simuliert wurde.

3.2.2 Collision Detection Monitor

Theoretische Grundlagen der Kollisionserkennung

Die Kollisionserkennung in Unity basiert auf einem zweistufigen Verfahren, das von der integrierten PhysX 5.1 Engine implementiert wird ¹⁰. In der **Broad Phase** werden zunächst Axis-Aligned Bounding Boxes (AABB) aller Objekte auf mögliche Überlappungen geprüft. Dieser Schritt reduziert die Anzahl der detaillierten Prüfungen von $O(n^2)$ auf $O(n \log n)$ durch räumliche Partitionierung ¹¹. Nur Objektpaare mit überlappenden Bounding Boxes werden an die **Narrow Phase** weitergereicht, wo der präzise GJK-Algorithmus (Gilbert-Johnson-Keerthi) die tatsächliche Kollision zwischen konvexen Geometrien ermittelt. ¹²

Unity unterscheidet dabei zwischen physikalischen Kollisionen und Trigger-Events. Während physikalische Kollisionen Reaktionskräfte berechnen, detektieren Trigger lediglich Überlappungen und generieren entsprechende Events ¹³. Hier kommen lediglich Trigger-Collider zum Einsatz, da sich sonst die Umgebung durch physikalische Wechselwirkungen während der Simulation verändern würde. Die Layer-Matrix ermöglicht zusätzlich eine selektive Kollisionserkennung, indem bestimmte Layer-Kombinationen von der Prüfung ausgeschlossen werden können. Dies reduziert sowohl die Rechenlast als auch unerwünschte Kollisionsmeldungen zwischen semantisch nicht relevanten Objekten.

Praktisches Vorgehen

Für die Kollisionserkennung eines Roboterarms mit sechs Freiheitsgraden müssen spezielle Anpassungen vorgenommen werden: Da benachbarte Glieder der kinematischen Kette konstruktionsbedingt immer in Kontakt stehen, würden diese ohne Filterung kontinuierlich Kollisionen melden. Unity's **Physics.IgnoreCollision()** API ermöglicht das explizite Ausschließen solcher Kollisionspaare. Das Layer-System wird zur semantischen Trennung verschiedener Objektkategorien genutzt. Der Roboter operiert auf dem

¹⁰Vgl. NVIDIA Corporation 2023

¹¹Vgl. Ericson 2004, S. 14

¹²Vgl. Ericson 2004, S. 399 ff.

¹³Vgl. Unity Technologies 2025

Standard-Layer, während Werkstücke auf Layer 30 (Parts) und Stationen auf Layer 31 (ProcessFlow) (siehe Kapitel 3.2.1) platziert werden. Durch Konfiguration der Collision Layer Matrix wird sichergestellt, dass nur sicherheitsrelevante Kollisionen zwischen Roboter und Hindernissen detektiert werden, während Process Flow Trigger-Events separat behandelt werden.

Konkrete Implementierung

Die Implementierung nutzt Trigger-Collider für berührungslose Detektion. Jedes Roboterglied erhält einen konvexen Mesh-Collider mit einem dedizierten Detector-Komponenten. Die Filterung benachbarter Glieder erfolgt durch hierarchische Analyse der Roboterstruktur, dargestellt in 3.3.

```
private void SetupAdjacentFrameIgnoring()
{
    // Dynamically ignore collisions between adjacent frames in the kinematic chain
    Frame[] frames = GetComponentsInChildren<Frame>();

    // Sortieren der Hierarchie der Frame
    System.Array.Sort(frames, (a, b) =>
        ↳ GetHierarchyDepth(a.transform).CompareTo(GetHierarchyDepth(b.transform)));

    for (int i = 0; i < frames.Length - 1; i++)
    {
        Transform currentFrame = frames[i].transform;
        Transform nextFrame = frames[i + 1].transform;
        // Methode sucht nach Collidern im GameObject und setzt
        // Physics.IgnoreCollision
        IgnoreCollisionsBetweenParts(currentFrame, nextFrame);
    }
}
```

Abbildung 3.3: Algorithmus zum Ermitteln kinematisch benachbarter Mesh-Collider

Tritt nun eine Kollision mit einem der vordefinierten Objekte auf, wird die `OnRobotPartCollision()`-Methode des Monitors aufgerufen. Diese prüft zunächst, ob es sich um ein gegriffenes Werkstück handelt - solche Kollisionen werden ignoriert, da das Werkstück temporär Teil des Roboters ist. Anschließend wird durch einen Cooldown-Mechanismus verhindert, dass dieselbe Kollision innerhalb kurzer Zeit mehrfach gemeldet wird.

Die Kollisionserkennung unterscheidet zwischen kritischen und unkritischen Ereignissen basierend auf konfigurierbaren Tags. Objekte mit Tags wie "Machine" oder "Obstacles" lösen kritische Safety Events aus, während andere Kollisionen als Warnungen klassifiziert werden. Der Monitor generiert dabei ein `SafetyEvent`-Objekt mit vollständigen Metadaten über die Kollision, einschließlich der beteiligten Roboterglieder, des Kollisionspunkts in Weltkoordinaten und der Distanz zwischen den Objekten.

Diese Ereignisse werden an den zentralen **RobotSafetyManager** weitergeleitet, der sie mit dem aktuellen Roboterzustand anreichert und entsprechend der konfigurierten Logging-Strategie verarbeitet. Durch diese Architektur bleibt der Collision Detection Monitor unabhängig vom spezifischen Robotertyp und kann flexibel in verschiedenen Simulationsszenarien eingesetzt werden.

Die protokollierten Events bestehen jeweils aus dem Namen des Monitors, einer textuellen Beschreibung, den beteiligten Objekten sowie einem Schweregrad (critical oder warning). Diese Struktur ermöglicht eine klare Einordnung der Ereignisse in Kapitel 4.3 im Ergebnisteil.

3.2.3 Singularity Detection Monitor

Theoretische Grundlagen der Singularitätsdetektion

Kinematische Singularitäten stellen ein fundamentales Problem in der Robotersteuerung dar und treten auf, wenn die Jacobi-Matrix des Roboters ihren vollen Rang verliert. In diesen Konfigurationen verliert der Roboter die Fähigkeit, sich in bestimmte Richtungen im kartesischen Raum zu bewegen, was zu Kontrollverlust und potentiell gefährlichen Situationen führen kann.¹⁴

Mathematische Definition Eine kinematische Singularität tritt auf, wenn die Jacobi-Matrix $\mathbf{J}(\boldsymbol{\theta})$, welche des Roboters ihren vollen Rang verliert:

$$\text{rank}(\mathbf{J}(\boldsymbol{\theta})) < \min(m, n) \quad (3.1)$$

wobei $\mathbf{J}(\boldsymbol{\theta}) \in \mathbb{R}^{m \times n}$ die Jacobi-Matrix, $\boldsymbol{\theta}$ der Gelenkwinkelvektor, m die Anzahl der Freiheitsgrade im kartesischen Raum und n die Anzahl der Robotergelenke darstellt. Die Jacobi-Matrix beschreibt die Beziehung zwischen Gelenkgeschwindigkeiten $\dot{\boldsymbol{\theta}}$ und kartesischen Geschwindigkeiten des TCP \mathbf{v} :

$$\mathbf{v} = \mathbf{J}(\boldsymbol{\theta})\dot{\boldsymbol{\theta}} \quad (3.2)$$

Tritt eine Singularität auf, so wird die Jacobi-Matrix singulär.

$$\det(\mathbf{J}) = 0 \quad (3.3)$$

Dadurch wird die inverse Kinematik nicht eindeutig lösbar ist und es können theoretisch unendliche Gelenkgeschwindigkeiten auftreten.¹⁵

Frameworkspezifisches Vorgehen

Im Rahmen der praktischen Implementierung wird hier ein auf Schwellwerten und absoluten sowie winkelbasierten Entfernungen zur Singularität angewendet. Durch

¹⁴Vgl. Siciliano und Khatib 2016

¹⁵Vgl. Nakamura 1991

die Anwendung der rein mathematischen Definition liesse sich zwar jede beliebige Singularität in einer seriellen Kinematik erkennen, jedoch bleiben die betroffenen Gelenke und Art der Singularität ungewiss und müssten iterativ bestimmt werden. Daher wird hier eine pragmatische Berechnungsmethodik verwendet.

Für serielle Roboter manipulatoren mit sechs Freiheitsgraden wie den hier verwendeten ABB IRB 6700 können drei primäre Singularitätstypen unterschieden werden: Schulter singularitäten, Ellbogensingularitäten und Handgelenksingularitäten.¹⁶

Schulter singularitäten treten auf, wenn sich das Handgelenkszentrum (Schnittpunkt der Achsen 4, 5, 6) direkt über oder nahe der Rotationsachse des ersten Gelenks befindet:

$$\sqrt{x_{wc}^2 + y_{wc}^2} < \epsilon \quad (3.4)$$

wobei (x_{wc}, y_{wc}) die Position des Handgelenkszentrums in der XY-Ebene und ϵ der Singularitätsschwellenwert ist.

Ellbogensingularitäten treten auf, wenn der Roboter die Grenzen seines Arbeitsraums erreicht. Dies geschieht typischerweise bei vollständig ausgestreckter oder eingeklappter Konfiguration. Beim Knickarmrobotern wie dem IRB 6700 verläuft die Rotationsachse des vierten Gelenks nicht direkt durch den Ursprung vom dritten Gelenk, sondern ist durch eine Translation verschoben. Das impliziert, dass die vollständige Streckung des Armes nicht durch einen Winkel von 0° bzw. 180° auftritt. Hier lässt sich allgemeiner der Zusammenhang der Vektoren zwischen Gelenk 2 und 3 sowie 2 und 5 anwenden:

$$\theta = \angle(\vec{v}_{23}, \vec{v}_{25}) \approx 0^\circ \text{ oder } \theta \approx 180^\circ \quad (3.5)$$

wobei:

$$\vec{v}_{23} = \vec{p}_3 - \vec{p}_2 \quad (3.6)$$

$$\vec{v}_{25} = \vec{p}_5 - \vec{p}_2 \quad (3.7)$$

mit \vec{p}_i als Position des Gelenks i . Die Singularitätsbedingung lautet:

$$\theta < \epsilon \quad \text{oder} \quad \theta > 180^\circ - \epsilon \quad (3.8)$$

Handgelenksingularitäten entstehen, wenn die Rotationsachsen der letzten drei Gelenke (Gelenke 4, 5, 6) kollinear werden. Dies tritt typischerweise auf, wenn $\theta_5 = 0^\circ$ oder $\theta_5 = 180^\circ$. Mathematisch beschrieben durch:

$$\mathbf{z}_4 \parallel \mathbf{z}_6 \quad \text{oder} \quad |\mathbf{z}_4 \cdot \mathbf{z}_6| \approx 1 \quad (3.9)$$

¹⁶Vgl. Spong et al. 2006

wobei \mathbf{z}_i die Rotationsachse (Z-Achse) des i -ten Gelenks im Weltkoordinatensystem darstellt.

Manipulierbarkeitsindex (Yoshikawa-Maß) Der von Yoshikawa Yoshikawa 1985 eingeführte Manipulierbarkeitsindex ist eine der am häufigsten verwendeten Metriken:

$$\mu(\boldsymbol{\theta}) = \sqrt{\det(\mathbf{J}(\boldsymbol{\theta})\mathbf{J}^T(\boldsymbol{\theta}))} \quad (3.10)$$

Für quadratische Jacobi-Matrizen vereinfacht sich dies zu:

$$\mu(\boldsymbol{\theta}) = |\det(\mathbf{J}(\boldsymbol{\theta}))| \quad (3.11)$$

Der Index nimmt Werte zwischen 0 (Singularität) und einem maximalen Wert an, wobei höhere Werte bessere Manipulierbarkeit indizieren. Die Robotik-Literatur bietet verschiedene Ansätze zur Behandlung von Singularitäten, die sich in präventive und reaktive Strategien unterteilen lassen. Um diese in der Praxis anzuwenden, müssen jedoch teilweise numerische Auswertungen durchgeführt werden, um Schwellwerte zu erfassen. Daher kommen diese hier nicht zum Einsatz.

Zur zusätzlichen Charakterisierung wird jedoch die Yoshikawa-Manipulierbarkeit berechnet, da der Wert als Kennzahl für die Nähe zu einer Singularität verwendet werden kann. Er wird in den Ergebnissen in Kapitel 4.4 aufgeführt.

Praktisches Vorgehen

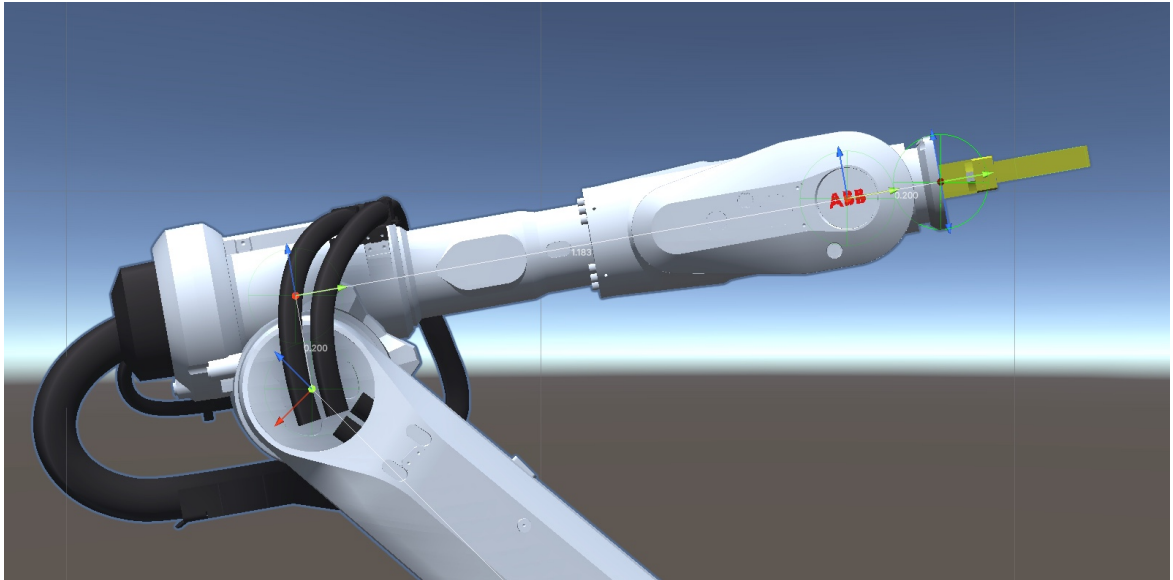


Abbildung 3.4: Screenshot einer Handgelenksingularität in Unity mit farbig dargestellten Koordinatensystemen der DH-Transformationen

Schritt 1: Positionsberechnung und Achsentransformation

Die Positionen der relevanten Gelenke werden durch die Anwendung der Vorwärtstransformation nach Denavit-Hartenberg berechnet:

$$\vec{p}_i = \text{DH}(\theta_1, \dots, \theta_i) \quad \text{für } i = 2, 3, 5 \quad (3.12)$$

Die Rotationsachsen werden aus den Transformationsmatrizen extrahiert:

$$\mathbf{z}_i = \mathbf{T}_i[:, 2] \quad \text{für } i = 1, 4, 6 \quad (3.13)$$

Schritt 2: Singularitätsanalyse

Für jeden Singularitätstyp wird die entsprechende Bedingung überprüft:

- **Schulteringularität:**

$$d_{wc} = \sqrt{x_{wc}^2 + y_{wc}^2} \quad (3.14)$$

wobei (x_{wc}, y_{wc}) die Position des Handgelenkszentrums in der XY-Ebene ist.

- **Ellbogensingularität:**

$$\theta_{elbow} = \angle(\vec{p}_3 - \vec{p}_2, \vec{p}_5 - \vec{p}_2) \quad (3.15)$$

- **Handgelenksingularität:**

$$c_{46} = |\mathbf{z}_4 \cdot \mathbf{z}_6| \quad (3.16)$$

Schritt 3: Schwellwertvergleich

Singularitätstyp	Beispiel-Schwellwert	Bedingung
Schulter	$\tau_{\text{shoulder}} = 100 \text{ mm}$	$d_{wc} < \tau_{\text{shoulder}}$
Ellbogen	$\tau_{\text{elbow}} = 5^\circ$	$\theta_{\text{elbow}} < \tau_{\text{elbow}}$ oder $\theta_{\text{elbow}} > 180^\circ - \tau_{\text{elbow}}$
Handgelenk	$\tau_{\text{wrist}} = 5^\circ$	$c_{46} > \tau_{\text{wrist}}$

Tabelle 3.2: Singularitätsschwellwerte und Detektionsbedingungen

Schritt 4: Manipulierbarkeitsberechnung

Für detektierte Singularitäten wird ein approximierter Manipulierbarkeitsindex nach Yoshikawa berechnet:

$$w = \sqrt{\det(\mathbf{J}(\theta)\mathbf{J}^T(\theta))} \quad (3.17)$$

Ein kleiner Wert von w indiziert die Nähe zu einer singulären Konfiguration. Das entwickelte Framework implementiert eine winkelbasierte Singularitätsdetektion, die geometrische Eigenschaften der Roboterkinematik direkt nutzt, anstatt auf rechenintensive Jacobi-Matrix-Berechnungen angewiesen zu sein. Die achsenbasierte Methode basiert auf der Erkenntnis, dass Handgelenks- und Ellbogensingularitäten geometrisch durch

die Kollinearität von Rotationsachsen charakterisiert werden können. Schulter singularitäten werden analog durch die Entfernung des ersten Gelenks zum Handgelenkzentrum in der XY-Ebene festgestellt.

Konkrete Implementierung der Detektionsmethoden

Die Implementierung des `SingularityDetectionMonitor` nutzt die Vorwärtskinematik des Preliy Flange Frameworks zur Berechnung der Gelenkpositionen. Die zentrale Methode `ComputeJointPosition` berechnet die kartesische Position eines beliebigen Gelenks durch sukzessive Anwendung der Denavit-Hartenberg-Transformationsmatrizen:

```
private Vector3 ComputeJointPosition(float[] jointAngles, int jointIndex)
{
    Matrix4x4 baseTransform = Matrix4x4.identity;

    // Apply joint transformations to get to desired joint position
    // To get joint N position, apply transformations 0 to N-1
    for (int i = 0; i < jointIndex - 1 && i < robotFrames.Length - 1; i++)
    {
        var frame = robotFrames[i + 1]; // Frame i+1 corresponds to joint i
        var config = frame.Config;

        // Create transformation matrix using DH parameters
        float theta = jointAngles[i] * Mathf.Deg2Rad + config.Theta;
        Matrix4x4 dhTransform = HomogeneousMatrix.CreateRaw(new FrameConfig(
            config.Alpha, config.A, config.D, theta
        ));

        baseTransform = baseTransform * dhTransform;
    }

    return baseTransform.GetPosition();
}
```

Abbildung 3.5: Vorwärtskinematik zur Positionsberechnung

Die Methode `ComputeJointPosition` in Abbildung 3.5 implementiert die klassische Vorwärtskinematik durch Multiplikation homogener Transformationsmatrizen. Jede Matrix \mathbf{T}_i wird aus den DH-Parametern $(\alpha_i, a_i, d_i, \theta_i)$ konstruiert, wobei θ_i der aktuelle Gelenkwinkel plus einem konstanten Offset ist. Die resultierende Transformationsmatrix beschreibt die Position und Orientierung des Gelenks im Basiskoordinatensystem.

Das Framework nutzt Unitys `Matrix4x4`-Klasse für die Transformationsberechnungen und die `GetPosition()`-Methode zur Extraktion der Translationskomponente. Die Koordinatentransformation zwischen dem DH-Parametersystem und Unitys linkshändigem Y-up Koordinatensystem wird dabei durch die Methode `HomogeneousMatrix.CreateRaw()` des Flange-Frameworks transparent gehandhabt. Das ermöglicht eine nahtlose Integration der mathematischen Robotik-Konzepte in die Unity-Umgebung, während die

Echtzeitfähigkeit durch eventgetriebene Berechnung gewährleistet ist. Bei der Detektion einer Singularität bzw. dem Unterschreiten des im Unity-Editor definierten Grenzwertes wird ein **SafetyEvent**-Objekt instanziiert und an die **SafetyMonitor** Klasse weitergegeben. Darin werden zusätzlich Event-Metadaten zu den Daten der Gelenkwinkelabstände ausgegeben. Sobald der kritische Bereich verlassen wurde, wird ein weiteres **SafetyEvent** ausgegeben, um den Bereich, in welcher die Singularität auftritt, abstecken zu können.

3.2.4 Joint Dynamics Monitor

Theoretische Grundlagen Die Überwachung kinematischer Grenzwerte während der Werkstückhandhabung stellt eines der zentralen Ziele des Frameworks dar. Die besondere Herausforderung in HTTP-basierten Systemen liegt in der diskreten Datenakquisition mit Polling-Intervallen von 50-1000ms, wodurch die numerische Differentiation zu erheblichen Instabilitäten führt.

Geschwindigkeit $\dot{\theta}_i$ und Beschleunigung $\ddot{\theta}_i$ können folgendermassen aus der diskreten Zeitreihe approximiert werden:

$$\dot{\theta}_i[k] = \frac{\theta_i[k] - \theta_i[k-1]}{\Delta t_k}, \quad \ddot{\theta}_i[k] = \frac{\dot{\theta}_i[k] - \dot{\theta}_i[k-1]}{\Delta t_k} \quad (3.18)$$

In der Praxis und nach initialem Testen hat sich herausgestellt, dass die Berechnung dessen durch die unstetige Bewegung unrealistische Werte liefert. Das hängt damit zusammen, dass der HTTP-Endpunkt des Robotercontrollers in festgelegten Zeitabständen abgefragt wird und so die Gelenkpositionen des Roboters erneuert werden. Bewegt sich der Roboter über eine bestimmte Strecke, wird die von Unity lediglich als unstetige Bewegung mit theoretisch unendlich grosser Geschwindigkeit wahrgenommen. Daher ist hier eine Glättung der Werte nötig, um eine stetige Bewegung zu simulieren.

Mehrstufiger Filteransatz Zur Stabilisierung implementiert das Framework einen dreistufigen Filteransatz:

1. **Exponential Moving Average (EMA):** $\dot{\theta}_{i,\text{EMA}}[k] = \alpha \cdot \dot{\theta}_{i,\text{raw}}[k] + (1 - \alpha) \cdot \dot{\theta}_{i,\text{EMA}}[k-1]$ mit $\alpha = 0.2$
2. **Moving Window Average:** $\dot{\theta}_{i,\text{MW}}[k] = \frac{1}{N} \sum_{j=0}^{N-1} \dot{\theta}_{i,\text{EMA}}[k-j]$ mit Fenstergröße $N = 8$
3. **Outlier Rejection:** $|\dot{\theta}_{i,\text{final}}[k] - \dot{\theta}_{i,\text{final}}[k-1]| \leq \tau_v \cdot \dot{\theta}_{i,\text{max}}$ mit $\tau_v = 0.2$

Durch die verwendete Glättung werden schnelle Änderungen in den Gelenkwerten erst zeitverzögert sichtbar. Dies wirkt sich unmittelbar auf die Erkennung von Geschwindigkeitsverletzungen aus, da der Monitor die Ereignisse nicht exakt im Moment des Überschreitens ausgibt, sondern nach einigen Abtastungen.

Grenzwertdefinition Die Grenzwerte werden aus den Flange-Framework-Konfigurationen extrahiert oder manuell spezifiziert. Ein Sicherheitsfaktor $\lambda = 0.8$ reduziert die nominellen Maximalwerte präventiv. Für den ABB IRB 6700 ergeben sich beispielsweise Geschwindigkeitsgrenzen von $88^\circ/\text{s}$ für die Hauptachsen und bis zu $168^\circ/\text{s}$ für das Handgelenk.

Implementierung der Smoothing-Pipeline Die zentrale Smoothing-Methode kombiniert die Filteransätze:

```

private float[] SmoothVelocities(float[] rawVelocities)
{
    // Hinzufügen der neuen Geschwindigkeiten zum Buffer und Buffer anpassen
    velocityBuffer.Add((float[])rawVelocities.Clone());
    if (velocityBuffer.Count > smoothingWindowSize) {
        velocityBuffer.RemoveAt(0);
    }
    float[] result = new float[6];
    for (int i = 0; i < 6; i++) {
        // Glatte mit dem EMP
        smoothedVelocities[i] = (smoothingAlpha * rawVelocities[i]) + ((1f -
        ↪ smoothingAlpha) * smoothedVelocities[i]);
        // Anwenden des Moving Window Average
        if (velocityBuffer.Count >= smoothingWindowSize) {
            float windowSum = 0f;
            for (int j = 0; j < velocityBuffer.Count; j++)
            {
                windowSum += velocityBuffer[j][i];
            }
            result[i] = windowSum / velocityBuffer.Count;
        }
        else
        { result[i] = smoothedVelocities[i]; }
        // OutlierRejection
        float maxChange = maxJointVelocities[i] * velocityOutlierThreshold;
        if (velocityBuffer.Count > 1) {
            // GetMovingAverage berechnet den gleitenden Durchschnitt zwischen der
            // letzten und vorletzten Bufferposition
            float previousSmoothed = velocityBuffer.Count >= 2 ?
                GetMovingAverage(velocityBuffer, i, velocityBuffer.Count - 1) :
                ↪ smoothedVelocities[i];
            float change = Mathf.Abs(result[i] - previousSmoothed);
            // Überschreitet die Änderung der Geschwindigkeit den Schwellwert,
            // wird er auf den maximalen positiven oder negativen Wert begrenzt
            if (change > maxChange) {
                result[i] = previousSmoothed + Mathf.Sign(result[i] - previousSmoothed) *
                ↪ maxChange; }
        }
    }
    return result;
}

```

Abbildung 3.6: Mehrstufige Smoothing-Pipeline zur Geschwindigkeitsberechnung

Als weiteres Feature implementiert der Monitor eine Methode, welche sich an die Update-Rate der State-Updates (also die Rate neuer Gelenkdaten) anpasst. So kann garantiert werden, dass ein State nicht doppelt verarbeitet und so beispielsweise die Geschwindigkeit falsch interpretiert wird, da es sich um den immer gleichen State des Roboters handelt.

Bei der Überschreitung der Schwellwerte wird der **SafetyMonitor** mittels eines **SafetyEvents** benachrichtigt. Als zusätzliche Metadaten enthält diese Meldung die Eventart (Geschwindigkeits oder -Beschleunigungsüberschreitung) und die damit zusammenhängenden Schwellwerte und aktuellen Werte. Da es in dem Rahmen vorkommen kann, dass hier die Geschwindigkeit über einen längeren Zeitraum überschritten wird, gibt der Monitor ebenfalls ein **SafetyEvent** aus, wenn die Geschwindigkeit unter den gegebenen Schwellwert sinkt.

3.3 Testumgebung und -setup

3.3.1 Aufbau der Roboterzelle

Arbeitsraum-Layout

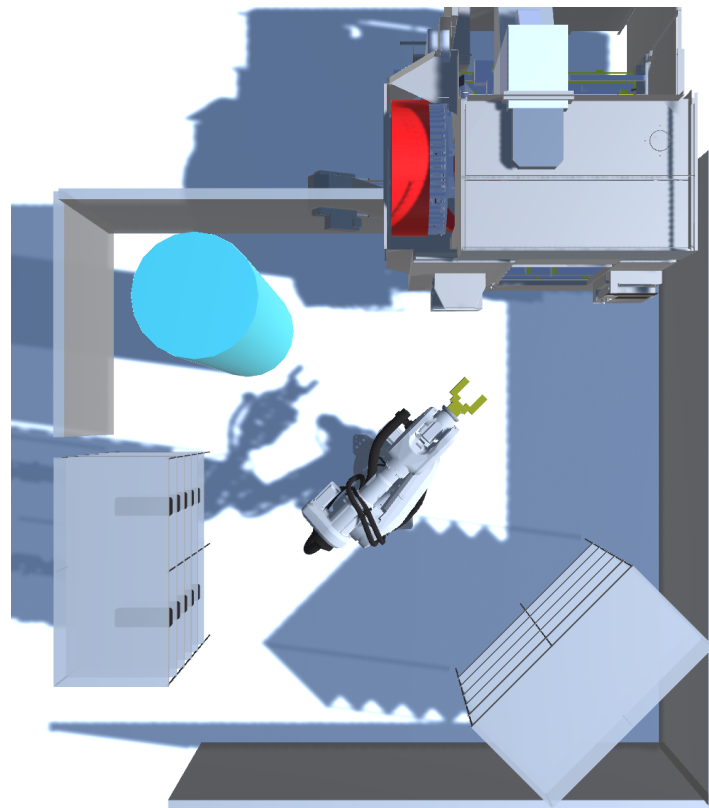


Abbildung 3.7: Arbeitsraum-Layout des Roboters in der Draufsicht mit Roboter in Home-Position

Die Roboterzelle ist im Rahmen dieses Testszenarios als isolierter Arbeitsraum mit mehreren Hindernisse, Begrenzungen und 3 semantischen Stationen aufgebaut. Die vom Roboter zu bewältigenden Aufgaben beschränken sich dabei auf ein Pick-and-Place-Szenario von Zylinderköpfen, dargestellt in Abbildung 3.7 Das hierfür erstellte

Layout sieht den Roboter in Zentrum dem Arbeitsraumes auf dem Boden stehend vor. Hindernisse, Begrenzungen und Stationen sind kreisförmig um den Roboter angeordnet. In Abbildung 3.7 blau markiert, befindet sich eine Säule als künstliches Hindernis. Links und rechts unten vom Mittelpunkt der Zelle aus befinden sich zwei Regale als Teilelager. Oben befindet sich eine 5-Achs-Fräsmaschine mit einer offenen Teileablage durch Entfernung der Schutztür zu Vereinfachungszwecken dieses Szenarios. Der Arbeitsraum ist begrenzt durch halbdurchsichtige Wände. Der Prozessablauf sieht vor, dass der Roboter Zylinderköpfe aus dem linken Regal aufnimmt, diese in der Maschine ablegt, in einer Warteposition auf die Beendigung der Bearbeitung wartet und anschliessend das bearbeitete Teil aufnimmt, um es im rechten Regal abzulegen. Ein beispielhafter Bearbeitungsprozess mit der 5-Achs-Fräsmaschine ist hier das Bohren und Schneiden von Gewinden in die Zylinderköpfe.

Der Aufbau und die Anordnung des Arbeitsraums ergibt sich aus den funktionalen Anforderungen, die das Framework abdecken soll. Durch den relativ begrenzten Raum müssen Bewegungspfade des Roboters an Hindernissen wie der Säule vorbei geplant werden und etwaige durch den Roboter gegriffene Werkstücke mitberechnet werden. Weiterführend verringern die Regale den Bewegungsraum für den Roboter zur Umlagerung vor und nach dem Aufnehmen und Ablegen der Teile, was zu einer erhöhten Wahrscheinlichkeit von Singularitäten führt. Die 3 semantischen Stationen sorgen dafür, dass sich hier Fehler im Prozessablauf abbilden lassen. Die Achsgeschwindigkeiten lassen sich in diesem Szenario ebenfalls beliebig variieren. Somit lassen sich alle funktionalen Anforderungen des Frameworks innerhalb dieses vereinfachten Szenarios abbilden.

Zylinderköpfe als Werkstücke

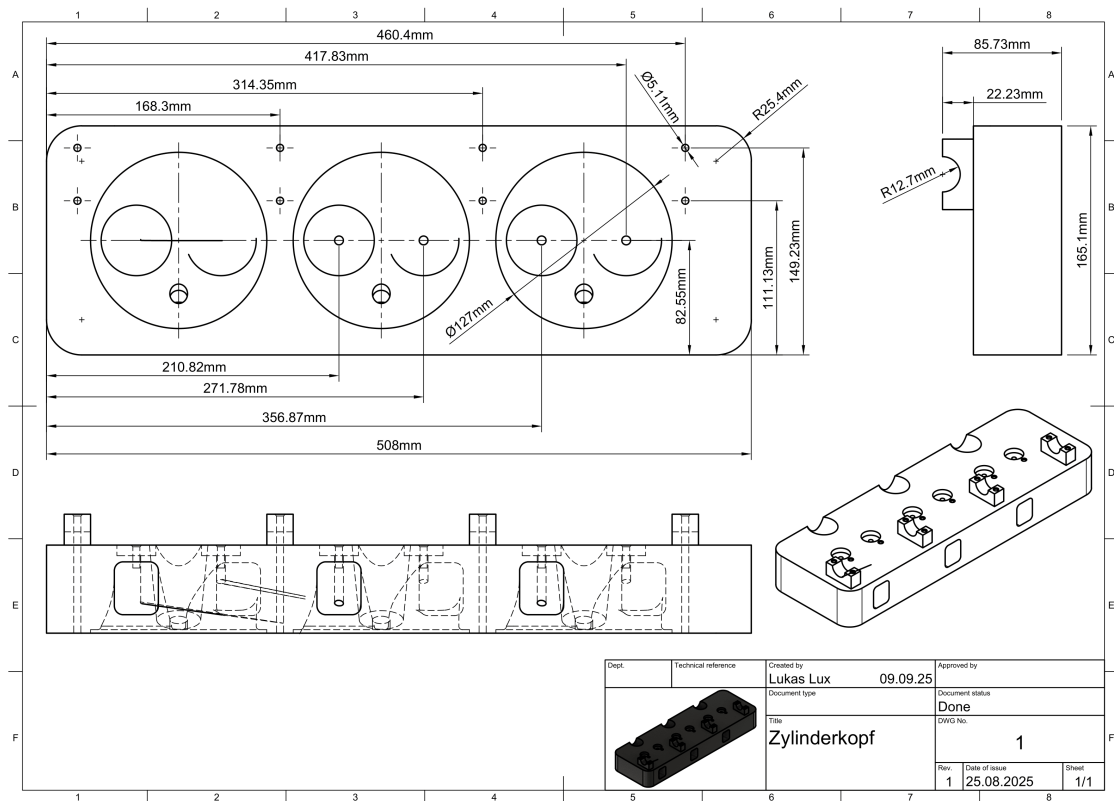


Abbildung 3.8: Technische Zeichnung des verwendeten Zylinderkopfes, dargestellt mithilfe von Autodesk Fusion 360

Als Werkstücke werden hier Zylinderköpfe für V6-Motoren gewählt. Das Werkstück bringt ein mit den Spezifikationen des ABB IRB 6700 übereinstimmendes Gewicht mit und ist an den Seitenflächen durch einen Parallelgreifer gut greifbar. Die Abmasse, des Zylinderkopfes sind Abbildung 3.8 zu entnehmen.

Greiferauslegung

Um das Werkstück sicher handhaben zu können, wird zusätzlich zum Roboter auch End-Effektor benötigt, welcher das Werkstück sicher durch den Arbeitsraum bewegen kann. Für die Handhabung des Zylinderkopfs wurde speziell ein Parallelgreifer ausgelegt, da die Entscheidung für einen geeigneten Greifer komplex ist und das Anforderungsprofil kaum normierbar ist ¹⁷.

¹⁷Vgl. Hesse 2011, S. 91

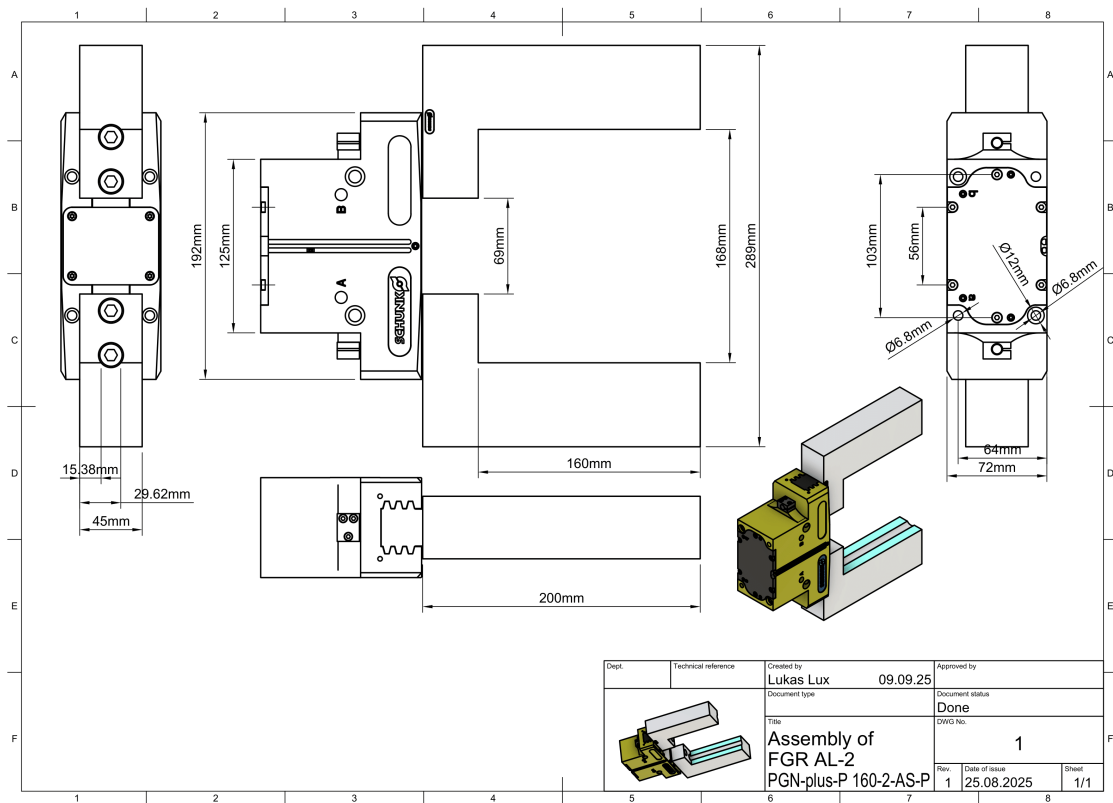


Abbildung 3.9: Technische Zeichnung des ausgelegten Parallelgreifers, dargestellt mithilfe von Autodesk Fusion 360

Mithilfe eines Online-Konfigurationstools der Firma SCHUNK¹⁸ lässt sich ein parametrisierter Greifer auslegen und 3D-CAD-Modelle in verschiedenen Formaten herunterladen. Hier wurde aufgrund der Werkstückdimensionen ein Parallelgreifer der Baureihe PGN-Plus-P gewählt und die Form der Greifbacken dem Werkstück entsprechend angepasst (siehe Abbildung 3.9). Das genaue Datenblatt des Greifers ist dem Anhang zu entnehmen.

3.3.2 Flange als Visualisierungstool

Im Rahmen dieses Frameworks wird das Unity-Package *Flange* genutzt. Implementiert durch GitHub-User *Preliy* und frei verfügbar im Rahmen einer BSD 3-Clause Lizenz, bietet ein spezialisiertes Framework für die Robotersteuerung in Unity mit modularer Architektur, die Gelenksteuerung, Kinematik, Koordinatentransformationen und Echtzeitüberwachung als separate Komponenten organisiert. Das System unterstützt sowohl direkte Gelenkmanipulation auf niedriger Ebene als auch kartesische Steuerung auf höherer Abstraktionsebene, wodurch es für verschiedene Roboteranwendungen einsetzbar ist.¹⁹ Im Kontext dieser Entwicklungsarbeit wird Flange zur Implementie-

¹⁸Vgl. Schunk 2025

¹⁹Vgl. Preliy 2024

rung und Visualisierung der Denavit-Hartenberg-Parameter und damit einhergehender Achstransformationen eingesetzt, da diese Notation als fundamentales Werkzeug der Robotik eine systematische Beschreibung der Geometrie serieller Robotermechanismen ermöglicht und somit die Anwendung etablierter algorithmischer Verfahren für kinematische Berechnungen, Jacobi-Matrizen sowie Bewegungsplanung unterstützt.²⁰

Flange ermöglicht eine direkte Konfiguration des Roboters über *Frame* und *JointTransformation* Scripts. Ein *Frame* definiert dabei die Denavit-Hartenberg-Parameter für einen Teil der kinematischen Kette, eine *JointTransformation* die Parameter des Gelenks, also möglicher maximaler Ausschlag in positive und negative Achsrotationsrichtung sowie maximale Geschwindigkeit und Beschleunigung. Diese Funktionen werden im Rahmen dieser Implementierung genutzt, um den zu simulierenden Roboter theoretisch nachvollziehbar im Raum bewegen zu können.

3.3.3 Modellierung in Unity

Der Arbeitsraum wurde der vorangegangenen Darstellung entsprechend in Unity modelliert. Dabei wurden die von Unity standardmäßig gewählten Einstellungen verwendet, sowohl bei der Modellierung als auch im Kontext der Physik-Engine. Jegliche Hindernisse wurden dabei mit *Collidern* versehen und dem Tag *textttObstacle* und respektive *Machine* für die Maschine, um diese bei der späteren Auswertung als Hindernisse kenntlich zu machen. Weiterführend wurden den einzelnen Stationen (linkes und rechtes Regal, Maschine) das Script *Station.cs* angehängt und dort im Sinne des bereits beschriebenen Arbeitsablaufs ein steigender Index zugewiesen. Analog dazu wird allen Zylinderköpf-Objekte das Script *Part.cs* zugewiesen, welche diese als Werkstücke identifiziert und mit dem durch Drag-and-Drop im Unity Inspector die Reihenfolge der einzelnen Stationen definiert wird, welche das Teil durchlaufen muss.

Alle Monitore wurden in einer einheitlichen Unity-Testumgebung ausgeführt. Die Simulationen basieren auf einem digitalen Zwilling des Roboters, der kontinuierlich seine Gelenkwinkel und Zustände an die Monitore übermittelt. Die erkannten Ereignisse werden unmittelbar protokolliert und in eine JSON-Logdatei geschrieben. Auf diese Weise sind die Ergebnisse der verschiedenen Monitore konsistent dokumentiert und im Ergebniskapitel direkt vergleichbar.

²⁰Vgl. Corke 2007, S. 590

3.4 Datenaufzeichnung und Logging

```

public SafetyEvent(string monitorName, SafetyEventType eventType, string description,
    ↪ RobotState currentState)
{
    this.monitorName = monitorName;
    this.eventType = eventType;
    this.description = description;
    this.timestamp = DateTime.Now;
    this.robotStateSnapshot = currentState != null ? new
    ↪ RobotStateSnapshot(currentState) : null;
}

```

Abbildung 3.10: SafetyEvent-Klasse mit Zuordnung zum Monitor und Kritikalität

Als zentrales Aufzeichnungsformat implementiert der **SafetyMonitor** eine JSON-Struktur für die durch die einzelnen Module erzeugten Ereignisse. Die Key-Value-Paare dieser Objekte sind durch die Klassen **RobotStateSnapshot** und **SafetyEvent** vordefiniert. Wird ein Ereignis ausgelöst, so wird ein neues **SafetyEvent** instanziiert (vgl. Abbildung 3.10).

Der **RobotStateSnapshot** kann initial leer sein, da durch Multithreading nicht in jedem Fall eine direkte Referenz zum aktuellen Roboterzustand vorliegt. Über die Methode **SetEventData()** der **SafetyEvent**-Klasse werden anschließend die spezifischen Daten ergänzt, beispielsweise die Kollisionsposition bei einer Kollisionserkennung.


```

public RobotStateSnapshot(RobotState state)
{
    if (state != null)
    {
        captureTime = DateTime.Now;
        // Program info
        isProgramRunning = state.isRunning;
        currentModule = state.currentModule ?? "";
        currentRoutine = state.currentRoutine ?? "";
        currentLine = state.currentLine;
        currentColumn = state.currentColumn;
        executionCycle = state.executionCycle ?? "";
        motorState = state.motorState ?? "";
        controllerState = state.controllerState ?? "";
        // Abrufen der aktuellen Achswinkel
        jointAngles = state.GetJointAngles();
        hasValidJointData = state.hasValidJointData;
        motionUpdateFrequencyHz = state.motionUpdateFrequencyHz;
        // IO Signale
        gripperOpen = state.GripperOpen;
        // Verbindungsinformationen
        robotType = state.robotType ?? "";
        robotIP = state.robotIP ?? "";
    }
}

```

Abbildung 3.11: RobotStateSnapshot-Klasse mit formalisieren Attributen

Der `SafetyMonitor` ergänzt das Ereignis um den aktuellen `RobotStateSnapshot`, der zusätzliche Informationen wie aktuelle Achswinkel, Motordaten, Programmzeiger und Programmname enthält (vgl. Abbildung 3.11). Die Events werden zwischengespeichert und am Ende der Ausführung gesammelt als `.json`-Datei in einem vordefinierten Ordner abgelegt.

Einordnung im Gesamtkontext

Die Architektur des Frameworks besteht somit aus den genannten Modulen, die in Kapitel 3 im Detail beschrieben werden. Ihre Funktionsweise wird in Kapitel 4 anhand von Testszenarien überprüft und ausgewertet.

Kapitel 4

Ergebnisse

4.1 Überblick und Zielsetzung

In diesem Kapitel werden die Ergebnisse der im vorherigen Kapitel beschriebenen Implementierung vorgestellt. Im Fokus steht die Überprüfung der vier entwickelten Safetymodule – Prozessfolgenüberwachung, Kollisionserkennung, Achsgeschwindigkeits- und Beschleunigungsüberwachung sowie Singularitätserkennung – innerhalb der aufgebauten Simulationsumgebung. Ziel ist es zu überprüfen, inwiefern im gewählten Testsetup eine Erkennung von Fehlern in der Roboterbewegung und Interaktion, welche mit den vier untersuchten Parametern zusammenhängen, auftreten. Ziel ist es zu überprüfen, inwiefern im gewählten Testsetup eine Erkennung von Fehlern in der Roboterbewegung und Interaktion, welche mit den vier untersuchten Parametern zusammenhängen, auftreten.

Für jedes Modul wurden gezielte Testfälle definiert, die sowohl korrekte als auch fehlerhafte Szenarien abbilden, um die Funktionsweise und Zuverlässigkeit der Module zu überprüfen. Die Ergebnisse werden anhand von Beobachtungen aus der Simulation, gespeicherten Zustands- und Ereignisdaten sowie grafischen Darstellungen aufgezeigt. Die Testfälle wurden dabei als Pfade in RobotStudio definiert. Diese Pfade werden von RobotStudio in RAPID-Code umgewandelt und gespeichert. Durch die Synchronisation mit dem Controller und dem Setzen des aktuellen Programms als Standardprogramm lässt sich das Programm in RobotStudio simulieren. So wurde für jedes Szenario vorgegangen.

Zur zusätzlichen Validierung wurde ein Experteninterview durchgeführt, in dem die Testcases vorgestellt und die Funktionsweise des Frameworks diskutiert wurden. Die Aussagen des Experten werden an geeigneter Stelle in diesem Kapitel dargestellt und in Kapitel 5 kritisch eingeordnet.

4.2 Prozessflussüberwachung

4.2.1 Testszenario mit veränderter Prozessabfolge

Die Validierung der Prozessflussüberwachung erfolgt über die Ausführung eines korrekten Szenarios als auch eines fehlerhaften Szenarios. Der Fehler soll provoziert werden, in dem das Werkstück abweichend zum in Abbildung 4.1 gezeigten gewünschten Ablauf direkt in das zweite Regal bewegt wird. Semantisch bedeutet dies ein Überspringen der Station *Machine*. Das soll ein *SafetyEvent* triggern, sobald das Werkstück im falschen Regal abgelegt wird.

Korrekter Prozessfluss

1. Bewegung von Home-Position zu linkem Regal
2. Greifen des Werkstücks
3. Bewegung zu Maschine
4. Platzieren des Werkstücks in Maschine
5. Warten auf Beendigung des Bearbeitungsprozesses in Warteposition (Bearbeitung hier nur simuliert)
6. Bewegen zum Werkstück und Greifen aus Maschine
7. Bewegung zu rechtem Regal
8. Platzieren des Objekts in rechtem Regal
9. Rückkehr zur Home-Position

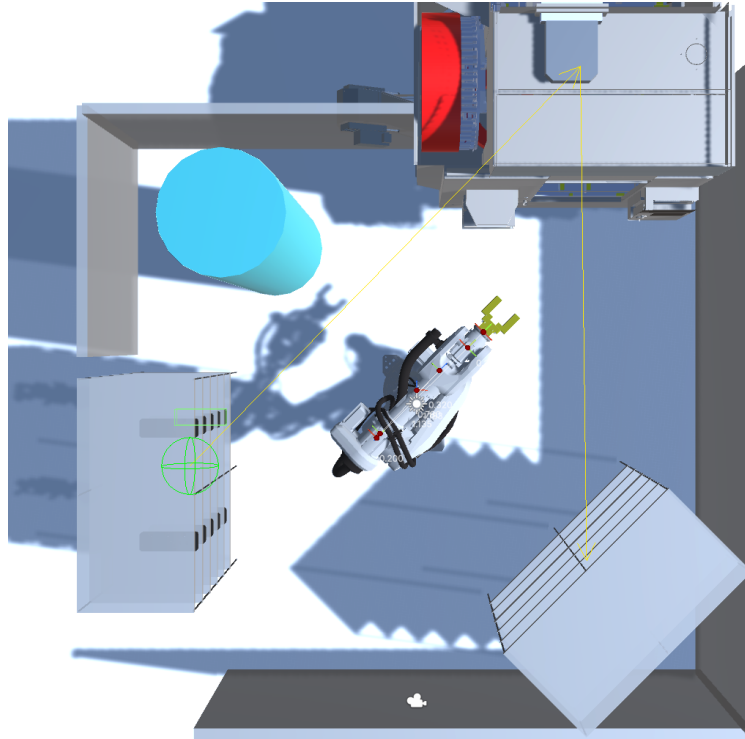


Abbildung 4.1: Visuelle Darstellung des Prozessflusses durch Konfiguration der Parts und Stations

Im veränderten Prozessfluss wird nun der Schritt der Bearbeitung übersprungen. Dies kann in der Praxis durch eine inkorrekte Abfolge im Roboterprogrammcode passieren. Somit ist der veränderte Prozessfluss wie folgt definiert.

Abgewandelter Prozessfluss

1. Bewegung von Home-Position zu linkem Regal
2. Greifen des Werkstücks
3. Bewegung zu Maschine
4. Bewegung zu rechtem Regal
5. Platzieren des Objekts in rechtem Regal
6. Rückkehr zur Home-Position

4.2.2 Auswertung der Simulation

Wird der korrekte Prozessfluss abgespielt, werden im Bezug auf den ProcessFlowMonitor keine Ereignisse protokolliert. Bei der Ausführung des Roboterprogramms mit verändertem Prozessfluss findet sich in der nach Beendigung des Programms mit Zeitstempel und

Modulname versehenem JSON-Log ein Eintrag mit einem SafetyEvent getriggert durch den Process Flow Monitor:

```
{
  "programName": "Module1",
  "totalSafetyEvents": 1,
  "safetyEvents": [
    {
      "monitorName": "Process Flow Monitor",
      "eventType": 1,
      "description": "Process flow violation: Part 'CylinderHead1' attempted invalid
↳ transition from StorageIn to StorageOut. Expected: Machine. Violation type:
↳ SkippedStation",
      "robotStateSnapshot": {
        "isProgramRunning": true,
        "currentModule": "Module1",
        "currentRoutine": "PlaceinStorageOut",
        "currentLine": 99,
        "currentColumn": 9,
        "executionCycle": "once",
        "motorState": "running",
        "controllerState": "motoron",
        "jointAngles": [
          "... "
        ],
        "hasValidJointData": true,
        "motionUpdateFrequencyHz": 18.038461607840238,
        "gripperOpen": true,
        "robotType": "ABB",
        "robotIP": "127.0.0.1"
      }
    }
  ]
}
```

Abbildung 4.2: JSON-Log zum Prozessfolgenfehler, Achswinkel wurden im Nachhinein entfernt

In Abbildung 4.2 ist abzulesen, dass der Fehler hier korrekt erkannt und klassifiziert wurde. Dabei zeigt das Feld **description** den genauen Hergang des Events an. Hier wurde eine invalide Transition von StorageIn zu StorageOut versucht. Das Framework erkennt ebenfalls, welcher Prozessschritt der Richtige gewesen wäre. Ausserdem wird hier als Violation Type der Type **SkippedStation** angegeben. Dieser ist als übersprungene Station zu klassifizieren, was in diesem Fall korrekt ist. Zusätzlich werden weitere Parameter der Simulation und des Controllers weitergegeben, unter anderem welches Modul und welche Routine des Moduls zum Zeitpunkt des Auftretens ausgeführt wurde sowie welcher Programmzeile der ProgramPointer sich zum Zeitpunkt der Event-Auslösung befand. Durch den Wert des Keys **totalSafetyEvents** ist zu erkennen, wie viele Ereignisse bei der Ausführung vom Programm getriggert wurden. Hier ist es lediglich der oben Genannte.

4.3 Auswertung Collision Detection Monitor

4.3.1 Abgewandlung des Pfads

Zur Auswertung des Collision Detection Monitors wurde der oben bereits genannte Prozess genutzt. Anschliessend wurde der Pfad, auf dem sich der Roboter zwischen seiner Home-Position und dem linken Regal, in dem er ein Werkstück greifen soll, verändert. Rechts dargestellt in Abbildung 4.3, führt der Pfad im Gegensatz zum kollisionsfreien, näher am Roboter verlaufenden Pfad aufgrund des ausladenden Umschwungs durch die Säulengeometrie. Durch das Abfahren des Pfades gegen den Uhrzeigersinn wird proviziert, dass der Roboter sich durch die in Abbildung 4.3 links blau eingefärbte Säule hindurch bewegen muss. Die Säule selbst bekommt den Tag `Obstacle` und wird durch einen vorhandenen Collider, welcher den Dimensionen der Säule entspricht, zum Kollisionshindernis.

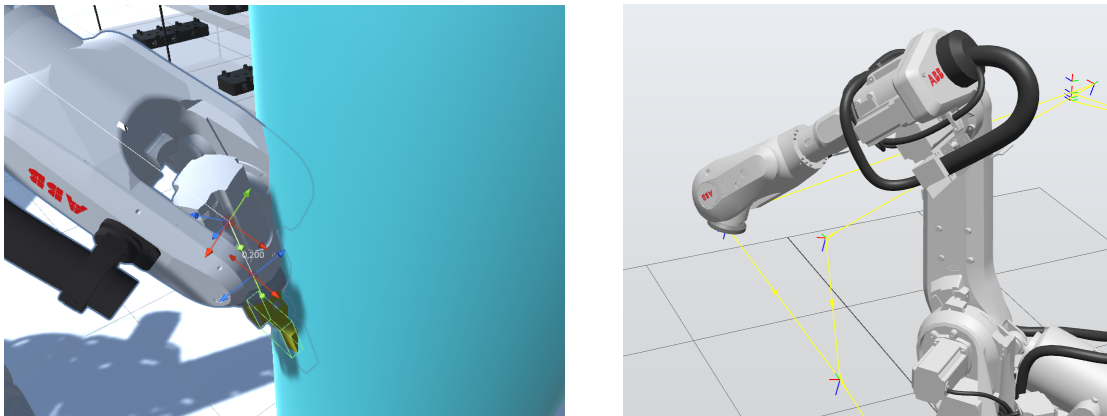


Abbildung 4.3: Kollision in Unity (links) und zugehörige Position auf Pfad in Robot-Studio (rechts). Gelenk 4, 5 und 6 sowie Greifer befinden sich innerhalb der Säulengeometrie.

4.3.2 Auswertung der Simulation

In Abbildung 4.4 ist der Output nach Kollision mit der der Säule dargestellt. Dem Event wurden zusätzlich Eventdaten angefügt, welche hier den Punkt der Kollision im Unity Koordinatensystem als auch die Entfernung zum Zentrum des kollidierenden Objekts darstellen. Die Kollision wird somit zuverlässig erkannt. Wichtig ist dabei zu erwähnen, dass die Kollisionserkennung stark von den verwendeten Collidern abhängt. Hier verwendet das Framework Mesh-Collider zur genauen Abbildung der Robotergeometrie, das Kollisionobjekt wird durch einen primitiven zylindrischen Collider definiert. Beim Outputformat der eventDataJson handelt es sich um string-escaped JSON. Die Daten sind also als Event-Daten in einem String komprimiert.

```
[
  {
    "monitorName": "Collision Detector",
    "eventType": 2,
    "description": "CRITICAL COLLISION: Gripper -> Saele",
    "robotStateSnapshot": "[...]",
    "eventDataJson": "{\n\"robotLink\": \"Gripper\", \"collisionObject\": \"Saele\", \"coll\
    ↪ isionPoint\": {\n\"x\": -1.146544337272644, \"y\": 0.038220398128032687, \"z\": 1.1465\
    ↪ 449333190919}, \"distance\": 1.6219075918197632}"
  },
  {
    "monitorName": "Collision Detector",
    "eventType": 2,
    "description": "CRITICAL COLLISION: Joint_4 -> Saele",
    "robotStateSnapshot": "[...]",
    "eventDataJson": "{\n\"robotLink\": \"Joint_4\", \"collisionObject\": \"Saele\", \"coll\
    ↪ isionPoint\": {\n\"x\": -1.146544337272644, \"y\": 0.038220398128032687, \"z\": 1.1465\
    ↪ 449333190919}, \"distance\": 1.6219075918197632}"
  },
  {
    "monitorName": "Collision Detector",
    "eventType": 2,
    "description": "CRITICAL COLLISION: Joint_6 -> Saele",
    "robotStateSnapshot": "[...]",
    "eventDataJson": "{\n\"robotLink\": \"Joint_6\", \"collisionObject\": \"Saele\", \"coll\
    ↪ isionPoint\": {\n\"x\": -1.146544337272644, \"y\": 0.038220398128032687, \"z\": 1.1465\
    ↪ 449333190919}, \"distance\": 1.6219075918197632}"
  },
  {
    "monitorName": "Collision Detector",
    "eventType": 2,
    "description": "CRITICAL COLLISION: Joint_5 -> Saele",
    "robotStateSnapshot": "[...]",
    "eventDataJson": "{\n\"robotLink\": \"Joint_5\", \"collisionObject\": \"Saele\", \"coll\
    ↪ isionPoint\": {\n\"x\": -1.146544337272644, \"y\": 0.038220398128032687, \"z\": 1.1465\
    ↪ 449333190919}, \"distance\": 1.6219075918197632}"
  },
  {
    "monitorName": "Collision Detector",
    "description": "Collision detected between Gripper and CylinderHead (8)",
    "eventType": 1,
    "robotStateSnapshot": "[...]",
    "eventDataJson": "{\n\"robotLink\": \"Gripper\", \"collisionObject\": \"CylinderHead\
    ↪ (8)\", \"collisionPoint\": {\n\"x\": -1.9333001375198365, \"y\": 0.5249927043914795, \
    ↪ \"z\": -1.1674463748931885}, \"distance\": 2.3186628818511965}"
  }
]
```

Abbildung 4.4: JSON-Log zur Kollisionserkennung. Sich wiederholende Key-Value Paa-re wurden verkürzt

Weiterführend ist zu erkennen, dass die Kollison mit verschiedenen Gliedern des Roboters sequentiell erkannt wird. Sobald der Roboter sich visuell weiter in die Säule

bewegt, wird jeweils bei der Kollision mit einem weiteren Glied eine weitere Kollision erkannt und ein eigenes Event getriggert. Die Reihenfolge der Joints in diesem Szenario ist nach eingehender Überprüfung als korrekt zu bewerten, da die Robotergeometrie dafür sorgt, dass Gelenk 4 deutlich breiter ist als 5 und 6. Gelenk 5 und 6 sind in die Geometrie von Gelenk 4 eingefasst, daher kollidiert der Roboter initial mit Gelenk 4, bevor eine Kollision an den kinematisch dahinterliegenden Gelenken erkannt wird.

Weiterführend lässt sich beim Greifen des Werkstücks feststellen, dass hier ebenfalls eine Kollision erkannt wird: Durch das Greifen des Werkstücks wird eine falsch-positive Kollision getriggert, da bevor das Werkstück gegriffen wird und semantisch in die kinematische Kette des Roboters verschoben wird, für einen kurzen Zeitpunkt eine Kollision stattfindet. Ein Beispiel dazu findet sich im letzten Block von Abbildung 4.4. Gleiches lässt sich beim Ablegen des Werkstücks beobachten. Wichtig zu erwähnen ist der unterschiedliche EventType, da das Werkstück aufgrund von fehlendem Tag nicht als kritisch eingestuft wird.

4.4 Auswertung Singularity Detection Monitor

Zur Untersuchung der Singularitätserkennung wurde in RobotStudio ein Szenario erstellt, das gezielt eine Wrist-Singularität provoziert. Dabei wurde der Roboter in eine Pose geführt, in der die Achsen 4 und 6 nahezu kollinear verlaufen und somit die Bedingung $\theta_5 \approx 0^\circ$ erfüllt ist.

```
[
  {
    "monitorName": "Singularity Detector",
    "eventType": 2,
    "description": "Entering Wrist Singularity (\u03B85 \u2248 0\u00B0)",
    "robotStateSnapshot": "[...]",
    "eventDataJson": {
      "singularityType": "Wrist Singularity (theta_5 approx 0 deg)",
      "jointAngles": [
        -82.7,
        -6.9,
        36.6,
        -112.8,
        -4.9,
        -153.5
      ],
      "wristThreshold": 5.0,
      "manipulability": 0.191,
      "isEntering": true,
      "[...]": "[...]"
    }
  },
  {
    "monitorName": "Singularity Detector",
    "eventType": 1,
    "description": "Exiting Wrist Singularity (\u03B85 \u2248 0\u00B0)",
    "robotStateSnapshot": "[...]",
    "eventDataJson": "[...]"
  }
]
```

Abbildung 4.5: Gekürzter Auszug der in Unity aufgezeichneten Safety Events zur Wrist-Singularität

Die vom Monitor in Unity aufgezeichneten Safety Events sind in Abbildung 4.5 als gekürzter Auszug dargestellt. Es werden sowohl das „Entering“- als auch das „Exiting“-Ereignis erfasst, jeweils mit den zugehörigen Gelenkwinkeln und einem berechneten Manipulierbarkeitswert. Nicht relevante Felder des Snapshots wurden entfernt, da die Gelenkwinkel bereits im `eventDataJson` enthalten sind. Zusätzliche Informationen wurden mit „[...]“ abgekürzt.

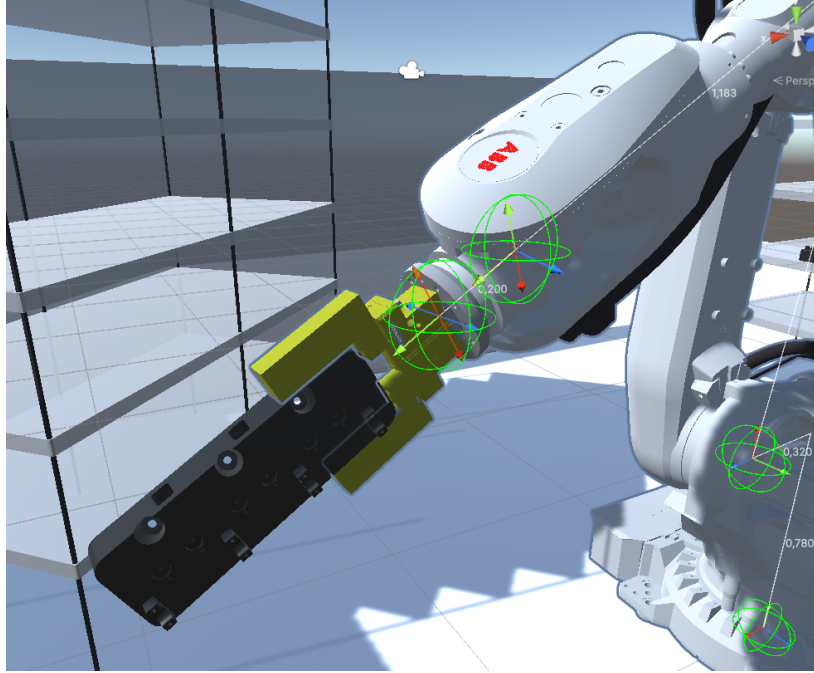


Abbildung 4.6: Pose in Unity, bei der eine Wrist-Singularität mit $(\theta_5 \approx 0^\circ)$ entsteht

Die Analyse der Ereignisse zeigt, dass der Monitor den Eintritt in die Wrist-Singularität bei einer Gelenkkonfiguration von etwa $[-82.7, -6.9, 36.6, -112.8, -4.9, -153.5]^\circ$ registrierte. Der berechnete Manipulierbarkeitswert lag hier bei $w \approx 0.19$. Beim Verlassen der Pose $([-91.8, -8.3, 37.8, -91.3, 5.2, -182.6]^\circ)$ wurde das „Exiting“-Ereignis ausgegeben, wobei der Manipulierbarkeitswert mit $w \approx 0.20$ ebenfalls sehr niedrig blieb. Die Ereignisse decken sich mit dem in RobotStudio provozierten Szenario und markieren den Übergang in und aus einer singulären Konfiguration. Zur Detektion von Singularitäten anderen Typs (hier Schulter- und Ellbogensingularitäten) wird das gleiche Verfahren angewendet. Hier decken sich die Ergebnisse mit den oben Beschriebenen.

4.5 Auswertung Joint Dynamics Monitor

Der *Joint Dynamics Monitor* erfasst kontinuierlich die Dynamik der sechs Roboterachsen. Die Implementierung in Unity basiert auf den vom digitalen Zwilling gestreamten Gelenkwinkeln, aus denen Geschwindigkeiten und Beschleunigungen differenziell berechnet werden. Zur Signalanalyse werden mehrere Mechanismen kombiniert, darunter exponentielle Glättung sowie Fenster-basiertes Mittel zur Dämpfung von Ausreißern. Zusätzlich wird ein Sicherheitsfaktor von 0,8 auf die in RobotStudio spezifizierten Maximalwerte angewendet, sodass die Schwellwerte im Monitor niedriger liegen als die realen physikalischen Limits (vgl. Implementierung in `JointDynamicsMonitor.cs`).

Während der Testsimulation wurden durch den Monitor zwei Überschreitungen der Geschwindigkeitsgrenzen auf **Joint 1** registriert. Diese Ereignisse sind in der aus

Unity aufgezeichneten Logdatei dokumentiert. Ein Auszug ist in Abbildung 4.7 dargestellt. Dort wird jeweils die Überschreitung der Geschwindigkeit und das nachfolgende „resolved“-Ereignis vermerkt, zusammen mit dem aktuellen Gelenkwinkelzustand des Roboters.

```
[
  {
    "monitorName": "Joint Dynamics Monitor",
    "eventType": 1,
    "description": "Joint 1 velocity limit exceeded: 53.95°/s",
    "robotStateSnapshot": {
      "jointAngles": [
        -2.12,
        -4.52,
        31.67,
        196.26,
        -57.86,
        -74.34
      ],
      "[...]": "[...]"
    }
  },
  {
    "monitorName": "Joint Dynamics Monitor",
    "eventType": 1,
    "description": "Joint 1 velocity limit resolved: 48.63°/s",
    "robotStateSnapshot": {
      "jointAngles": "[...]",
      "[...]": "[...]"
    }
  }
]
```

Abbildung 4.7: Gekürzter Auszug der in Unity aufgezeichneten Safety Events des Joint Dynamics Monitor, Ereignis wiederholt sich

Zum Vergleich wurden die Gelenkwinkel aus RobotStudio exportiert und anhand der berechneten Achsgeschwindigkeiten ausgewertet. Abbildung 4.8 zeigt die Ergebnisse: Im oberen Diagramm sind die Achswinkel aller sechs Gelenke dargestellt (J1 hervorgehoben in rot), darunter die berechneten Geschwindigkeiten mit markierten Schwellwertbereichen. Die rot eingefärbten Abschnitte kennzeichnen Intervalle, in denen die aus RobotStudio exportierten Daten die definierte Grenze von $\pm 50^\circ/\text{s}$ überschreiten. Die blau markierten Bereiche repräsentieren die durch den Monitor in Unity ausgegebenen Safety Events. Zu erkennen ist eine starke Überschneidung der Bereiche. Weiterführend zeichnet sich vor allem in der zweiten Geschwindigkeitsüberschreitung eine Verzögerung beim Ein- und Austritt in den kritischen Zustand ab. Die Events in Unity werden hier zeitverzögert weitergegeben.

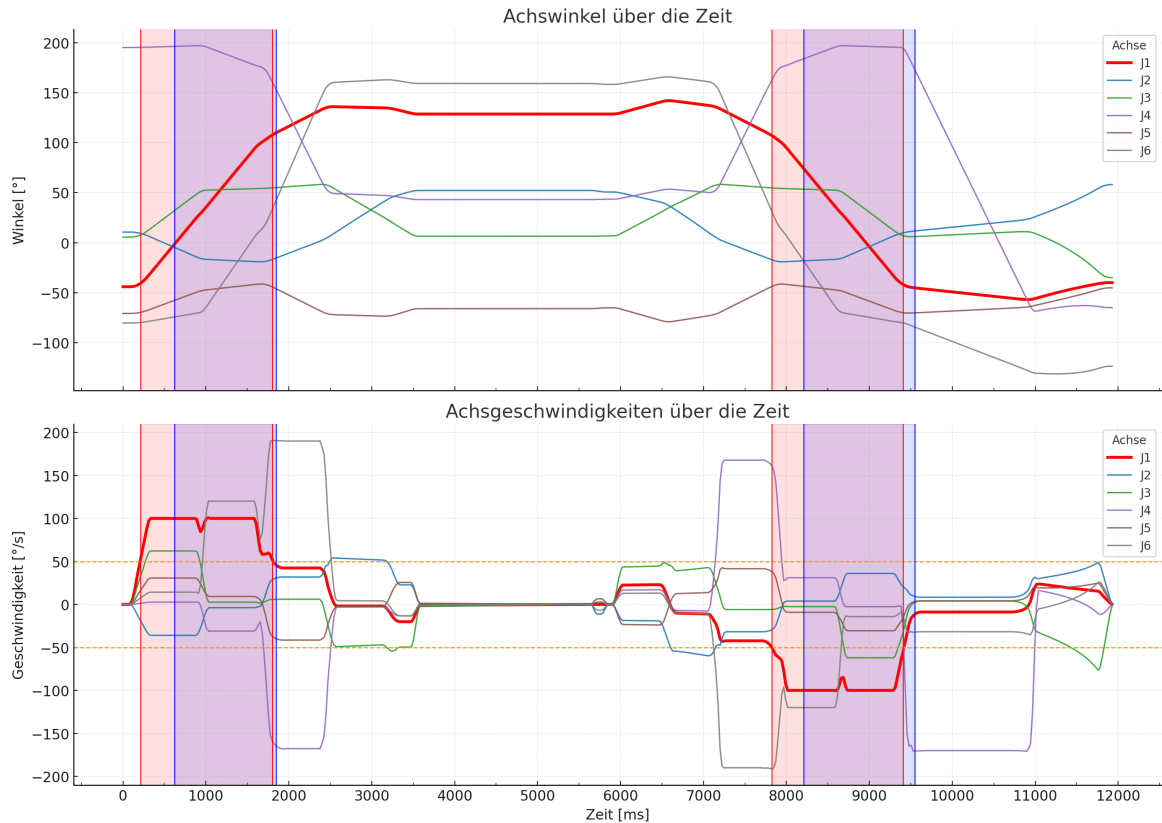


Abbildung 4.8: Achswinkel (oben) und Achsgeschwindigkeiten (unten) mit markierten Bereichen (rot: Schwellenübertritte in den Rohdaten, blau: Safety Events aus Unity).

Eine Gegenüberstellung der Zeitintervalle ist in Tabelle 4.1 enthalten. Dort werden die Start- und Endzeitpunkte der Abschnitte, die Dauer sowie die Gelenkwinkel und -geschwindigkeiten an diesen Punkten angegeben. Anhand dieser Darstellung wird sichtbar, dass die blau markierten Safety Events zeitlich nach den rot markierten Schwellenübertritten liegen. Die in Tabelle 4.1 und Abbildung 4.8 dargestellten Intervalle wurden ermittelt, indem die aus RobotStudio exportierten Gelenkwinkel mit den in den Safety Events gespeicherten Zuständen vergleichbar sind. Dazu wurde der euklidische Abstand zwischen den Vektoren der Achswinkel berechnet, um den jeweils nächstliegenden Zeitpunkt in den Referenzdaten zu bestimmen. Auf diese Weise lassen sich die vom Monitor in Unity gemeldeten Ereignisse mit den in den Rohdaten beobachteten Schwellenübertritten korrelieren.

Typ	Start [ms]	Ende [ms]	Dauer [ms]	Start J1 [°]	Ende J1 [°]
Dynamik (rot)	216	1800	1584	-40.35	107.62
Zielwinkel (blau)	624	1848	1224	-1.25	109.89
Dynamik (rot)	7824	9408	1584	107.08	-41.88
Zielwinkel (blau)	8208	9552	1344	74.15	-45.24

Tabelle 4.1: Zeitintervalle und Zustände der Joint-Dynamics-Auswertung

4.6 Zusammenfassung der Ergebnisse

Die Ergebnisse zeigen, dass die in Unity implementierten Monitore in allen Testfällen die in RobotStudio provozierten Szenarien widerspiegeln konnten. Dabei wurde deutlich, dass sich für jedes Modul charakteristische Muster im Logging abzeichnen: Prozessabweichungen wurden sequenziell dokumentiert, Kollisionen mit Schweregraden versehen, Singularitäten mit Gelenkwinkeln und Manipulierbarkeitswerten erfasst, und Geschwindigkeitsverletzungen durch Event-Paare (exceeded/resolved) gekennzeichnet.

Monitor	Getestetes Szenario	Erkannte Ereignisse / Beobachtungen
Process Flow	Ablauf mit bewusst fehlerhafter Reihenfolge der Operationen	Abweichung von der erwarteten Sequenz korrekt erkannt, Events dokumentieren Verletzung der Prozessfolge.
Collision Detection	Simulation mit Kollision zwischen Greifer und Werkstück bzw. Störkörper	Mehrere Kollisionen aufgezeichnet, inklusive beteiligter Objekte; Events mit Schweregrad (critical/warning) unterschieden.
Singularity Detection	Pose in RobotStudio, die eine Wrist-Singularität ($\theta_5 \approx 0^\circ$) provoziert	ENTERING- und EXITING-Events erfasst; Gelenkwinkel und Manipulierbarkeitswerte im JSON protokolliert; Szenario deckt sich mit RobotStudio.
Joint Dynamics	Bewegung mit Überschreitung der Geschwindigkeitsgrenzen auf J1 ($\pm 50^\circ/\text{s}$)	Zwei Event-Paare (exceeded/resolved) aufgezeichnet; Verzögerung zwischen Schwellenübertritt (Rohdaten) und Event (Monitor) sichtbar.

Tabelle 4.2: Übersicht der getesteten Monitore, Szenarien und erkannten Ereignisse im Ergebnisteil

Die Übersicht in Tabelle 4.2 verdeutlicht die Unterschiede zwischen den Monitoren hinsichtlich Art der Szenarien und Form der erfassten Events. Auffällig ist, dass sich in einigen Fällen eine zeitliche Verzögerung zwischen den in den Rohdaten beobachteten Zuständen und den vom Monitor generierten Ereignissen zeigt. Diese Beobachtung ergibt sich aus den in Kapitel 3 beschriebenen Mechanismen (z. B. Glättung, Abtastrate).

Im nächsten Abschnitt wird ein Experteninterview herangezogen, um die hier dargestellten Ergebnisse einzuordnen und im Hinblick auf ihre Relevanz für praktische Anwendungen zu reflektieren.

Kapitel 5

Fazit und Ausblick

5.1 Zusammenfassung

5.2 Ausblick

Literatur

- ABB (2025). *Robot Web Services API Documentation*. ABB. URL: <https://developercenter.robotstudio.com/api/RWS> (besucht am 20.08.2025).
- ABB Robotics (2025). *Produktspezifikation IRB 6700 on OmniCore*. Product Specification 3HAC080365-003. Revision K, Workspace Main version a641, checked in 2025-01-29. S-721 68 Västerås, Sweden: ABB AB, Robotics & Discrete Automation. URL: <https://library.e.abb.com/public/b62cda447b7343778b71830c0fa8123b/3HAC080365%20PS%20IRB%206700%20on%20OmniCore-de.pdf?x-sign=rCJlPoYfTIfTA+9E0P5NBvCj7jHVI9lxvc0VnEIvzhx9TbrSb6BeNgdE8vZufZdM>.
- Albahari, J und B Albahari (2022). *C# 10 in a Nutshell*. Sebastopol, CA: O'Reilly Media. ISBN: 978-1098121952.
- Andaluz, VH, FA Chicaiza, C Gallardo, WX Quevedo, J Varela, JS Sánchez und O Arteaga (2016). „Unity3D-MatLab Simulator in Real Time for Robotics Applications“. In: *Augmented Reality, Virtual Reality, and Computer Graphics*. Hrsg. von LT De Paolis und A Mongelli. Cham: Springer International Publishing, S. 246–263. ISBN: 978-3-319-40621-3.
- Anthropic (2024). *Introducing the Model Context Protocol*. <https://www.anthropic.com/news/model-context-protocol>. Accessed: 2025-09-06.
- Application Manual - Robot Web Services* (2023). Document ID: 3HAC050435-001, Revision: M. ABB Robotics. URL: <https://library.abb.com/>.
- Araujo, H, MR Mousavi und M Varshosaz (2023). „Testing, Validation, and Verification of Robotic and Autonomous Systems: A Systematic Review“. In: *ACM Transactions on Software Engineering and Methodology* 52.5. DOI: 10.1145/3542945.
- Audonnet, FP, A Hamilton und G Aragon-Camarasa (2022). „A Systematic Comparison of Simulation Software for Robotic Arm Manipulation using ROS2“. In: *2022 22nd International Conference on Control, Automation and Systems (ICCAS)*, S. 755–762. URL: <https://api.semanticscholar.org/CorpusID:248157288>.
- Bartneck, C, M Soucy, K Fleuret und EB Sandoval (2015). „The robot engine — Making the unity 3D game engine work for HRI“. In: *2015 24th IEEE International Symposium on Robot and Human Interactive Communication (RO-MAN)*, S. 431–437. DOI: 10.1109/ROMAN.2015.7333561.
- Bass, L, P Clements und R Kazman (2012). *Software Architecture in Practice*. 3. Aufl. Boston, MA: Addison-Wesley Professional. ISBN: 978-0321815736.
- Bhat, V, AU Kaypak, P Krishnamurthy, R Karri und F Khorrami (2024). *Grounding LLMs For Robot Task Planning Using Closed-loop State Feedback*. arXiv: 2402.08546 [cs.R0]. URL: <https://arxiv.org/abs/2402.08546>.
- Bilancia, P, J Schmidt, R Raffaeli, M Peruzzini und M Pellicciari (2023). „An Overview of Industrial Robots Control and Programming Approaches“. In: *Applied Sciences* 13.4.

- ISSN: 2076-3417. DOI: 10.3390/app13042582. URL: <https://www.mdpi.com/2076-3417/13/4/2582>.
- Brohan, A, N Brown, J Carbajal, Y Chebotar, X Chen, K Choromanski, T Ding, D Driess, A Dubey, C Finn, P Florence, C Fu, MG Arenas, K Gopalakrishnan, K Han, K Hausman, A Herzog, J Hsu, B Ichter, A Irpan, N Joshi, R Julian, D Kalashnikov, Y Kuang, I Leal, L Lee, TWE Lee, S Levine, Y Lu, H Michalewski, I Mordatch, K Pertsch, K Rao, K Reymann, M Ryoo, G Salazar, P Sanketi, P Sermanet, J Singh, A Singh, R Soricut, H Tran, V Vanhoucke, Q Vuong, A Wahid, S Welker, P Wohlhart, J Wu, F Xia, T Xiao, P Xu, S Xu, T Yu und B Zitkovich (2023). *RT-2: Vision-Language-Action Models Transfer Web Knowledge to Robotic Control*. arXiv: 2307.15818 [cs.R0]. URL: <https://arxiv.org/abs/2307.15818>.
- Buschmann, F, R Meunier, H Rohnert, P Sommerlad und M Stal (1996). *Pattern-Oriented Software Architecture: A System of Patterns*. Chichester, UK: John Wiley & Sons. ISBN: 978-0471958697.
- Cassandras, CG und S Lafortune (2021). *Introduction to Discrete Event Systems*. 3. Aufl. Cham: Springer, S. XXVI, 804. ISBN: 978-3-030-72272-2. DOI: 10.1007/978-3-030-72274-6. URL: <https://doi.org/10.1007/978-3-030-72274-6>.
- Chacon, S und B Straub (2014). *Pro Git*. 2nd. Apress.
- Cohen, V, JX Liu, R Mooney, S Tellex und D Watkins (2024). *A Survey of Robotic Language Grounding: Tradeoffs between Symbols and Embeddings*. arXiv: 2405.13245 [cs.R0]. URL: <https://arxiv.org/abs/2405.13245>.
- Corke, PI (2007). „A Simple and Systematic Approach to Assigning Denavit–Hartenberg Parameters“. In: *IEEE Transactions on Robotics* 23.3, S. 590–594. DOI: 10.1109/TR0.2007.896765.
- Craig, JJ (2005). *Introduction to Robotics: Mechanics and Control*. 3. Aufl. Upper Saddle River, NJ: Pearson Education. ISBN: 978-0201543612.
- Craighead, J, R Murphy, J Burke und B Goldiez (2007). „A Survey of Commercial & Open Source Unmanned Vehicle Simulators“. In: *Proceedings of IEEE International Conference on Robotics and Automation*. IEEE, S. 852–857. DOI: 10.1109/ROBOT.2007.363092.
- De Luca, A und R Mattone (2003). „Actuator Failure Detection and Isolation using Generalized Momenta“. In: *IEEE International Conference on Robotics and Automation (ICRA)*, S. 634–639.
- Driess, D, F Xia, MSM Sajjadi, C Lynch, A Chowdhery, B Ichter, A Wahid, J Tompson, Q Vuong, T Yu, W Huang, Y Chebotar, P Sermanet, D Duckworth, S Levine, V Vanhoucke, K Hausman, M Toussaint, K Greff, A Zeng, I Mordatch und P Florence (2023). *PaLM-E: An Embodied Multimodal Language Model*. arXiv: 2303.03378 [cs.LG]. URL: <https://arxiv.org/abs/2303.03378>.
- Ericson, C (2004). *Real-Time Collision Detection*. 1. Aufl. CRC Press. ISBN: 978-1558607323.
- Feathers, M (2004). *Working Effectively with Legacy Code*. Upper Saddle River, NJ: Prentice Hall. ISBN: 978-0131177055.

- Fickinger, A, A Bendahi und S Russell (2025). *Provable Sim-to-Real Transfer via Offline Domain Randomization*. arXiv: 2506.10133 [cs.LG]. URL: <https://arxiv.org/abs/2506.10133>.
- Fowler, M (2002). *Patterns of Enterprise Application Architecture*. Boston, MA: Addison-Wesley Professional. ISBN: 978-0321127426.
- Gamma, E, R Helm, R Johnson und J Vlissides (1994). *Design Patterns: Elements of Reusable Object-Oriented Software*. Reading, MA: Addison-Wesley.
- Gregory, J (2018). *Game Engine Architecture*. 3. Aufl. Boca Raton, FL: CRC Press. ISBN: 978-1138035454.
- Gu, X, M Chen, Y Lin, Y Hu, H Zhang, C Wan, Z Wei, Y Xu und J Wang (2025). „On the Effectiveness of Large Language Models in Domain-Specific Code Generation“. In: *ACM Transactions on Software Engineering and Methodology* 34.3, S. 1–22. ISSN: 1557-7392. DOI: 10.1145/3697012. URL: <http://dx.doi.org/10.1145/3697012>.
- Haas, J (2022). „Real-time Parameter Tuning in Unity for Robotics Applications“. In: *Proceedings of the International Conference on Robotics and Automation (ICRA)*. Philadelphia, PA: IEEE, S. 1234–1240.
- Hesse, S (2011). *Greifertechnik*. München: Carl Hanser Verlag GmbH & Co. KG. DOI: 10.3139/9783446427419. eprint: <https://www.hanser-elibrary.com/doi/pdf/10.3139/9783446427419>. URL: <https://www.hanser-elibrary.com/doi/abs/10.3139/9783446427419>.
- Hohpe, G (2006). *Programming Without a Call Stack – Event-driven Architectures*. Available at <http://www.eaipatterns.com>.
- Holubek, R, DRD Sobrino, P Ko t’ál und R Ruarovský (2014). „Offline Programming of an ABB Robot Using Imported CAD Models in the RobotStudio Software Environment“. In: *Applied Mechanics and Materials* 693, S. 62–67. URL: <https://api.semanticscholar.org/CorpusID:62640999>.
- Hufnagel, T und D Schramm (2011). „Consequences of the Use of Decentralized Controllers for Redundantly Actuated Parallel Manipulators“. In: *Final program - Thirteenth World Congress in Mechanism and Machine Science, Robotics and Mechatronics*.
- International Organization for Standardization (2011). *Robots and robotic devices – Safety requirements for industrial robots – Part 1: Robots*. Geneva, Switzerland.
- IRC5 Controller - Technical Reference Manual (2023). Document ID: 3HAC020738-001. ABB Robotics. URL: <https://library.abb.com/>.
- Jiang, J, F Wang, J Shen, S Kim und S Kim (2024). *A Survey on Large Language Models for Code Generation*. arXiv: 2406.00515 [cs.CL]. URL: <https://arxiv.org/abs/2406.00515>.
- Joel, S, JJ Wu und FH Fard (2024). *A Survey on LLM-based Code Generation for Low-Resource and Domain-Specific Programming Languages*. arXiv: 2410.03981 [cs.SE]. URL: <https://arxiv.org/abs/2410.03981>.
- Juliani, A, VP Berges, E Teng, A Cohen, J Harper, C Elion, C Goy, Y Gao, H Henry, M Mattar und D Lange (2020). „Unity: A General Platform for Intelligent Agents“. In: *Proceedings of the AAAI Conference on Artificial Intelligence*. Bd. 34. 05. AAAI Press, S. 9729–9730.

- Latombe, JC (1991). *Robot Motion Planning*. Boston, MA: Kluwer Academic Publishers. ISBN: 978-0792391296. DOI: 10.1007/978-1-4615-4022-9.
- Liang, J, W Huang, F Xia, P Xu, K Hausman, B Ichter, P Florence und A Zeng (2023). *Code as Policies: Language Model Programs for Embodied Control*. arXiv: 2209.07753 [cs.R0]. URL: <https://arxiv.org/abs/2209.07753>.
- Liskov, B (1987). „Data Abstraction and Hierarchy“. In: *Proceedings of the OOPSLA '87 Conference*. Bd. 23. 5, S. 17–34. DOI: 10.1145/62139.62141.
- Mack, G (2009). „Eine neue Methodik zur modellbasierten Bestimmung dynamischer Betriebslasten im mechatronischen Fahrwerkentwicklungsprozess“. In: *Schriftenreihe des Instituts für Angewandte Informatik / Automatisierungstechnik, Universität Karlsruhe (TH), Band 28*.
- Martin, RC (1996). „The Dependency Inversion Principle“. In: *C++ Report* 8.6, S. 61–66.
- Martin, RC (2000). „Design Principles and Design Patterns“. In: *Object Mentor* 1.34, S. 597.
- Martin, RC (2003). *Agile Software Development: Principles, Patterns, and Practices*. Upper Saddle River, NJ: Prentice Hall. ISBN: 978-0135974445.
- Martin, RC (2017). *Clean Architecture: A Craftsman's Guide to Software Structure and Design*. Boston, MA: Prentice Hall. ISBN: 978-0134494166.
- Meyer, B (1992). „Applying Design by Contract“. In: *Computer* 25.10, S. 40–51. DOI: 10.1109/2.161279.
- Meyer, B (1997). *Object-Oriented Software Construction*. 2. Aufl. Upper Saddle River, NJ: Prentice Hall. ISBN: 978-0136291558.
- Michelson, BM (2006). „Event-Driven Architecture Overview“. In: *Patricia Seybold Group Research Report*. URL: <https://www.psgroup.com/detail.aspx?ID=632>.
- Mower, CE, Y Wan, H Yu, A Grosnit, J Gonzalez-Billandon, M Zimmer, J Wang, X Zhang, Y Zhao, A Zhai, P Liu, D Palenicek, D Tateo, C Cadena, M Hutter, J Peters, G Tian, Y Zhuang, K Shao, X Quan, J Hao, J Wang und H Bou-Ammar (2024). *ROS-LLM: A ROS framework for embodied AI with task feedback and structured reasoning*. arXiv: 2406.19741 [cs.R0]. URL: <https://arxiv.org/abs/2406.19741>.
- Müller, A (2006). „Stiffness Control of redundantly actuated Parallel Manipulators“. In: *Proceedings of the 2006 IEEE International Conference on Robotics and Automation*, S. 1153–1158.
- Müller, A (2011). „Problems in the Control of redundantly actuated Parallel Manipulators caused by Geometric Imperfections“. In: *Meccanica*. Bd. 46. Springer Netherlands, S. 41–49.
- Nakamura, Y (1991). *Advanced Robotics: Redundancy and Optimization*. Reading, MA: Addison-Wesley Publishing Company. ISBN: 978-0201151985.
- Nakamura, Y und H Hanafusa (1986). „Inverse Kinematic Solutions With Singularity Robustness for Robot Manipulator Control“. In: *Journal of Dynamic Systems, Measurement, and Control* 108.3, S. 163–171. DOI: 10.1115/1.3143764.
- Naveed, H, AU Khan, S Qiu, M Saqib, S Anwar, M Usman, N Akhtar, N Barnes und A Mian (2024). *A Comprehensive Overview of Large Language Models*. arXiv: 2307.06435 [cs.CL]. URL: <https://arxiv.org/abs/2307.06435>.

- Nilsson, K (1996). „Industrial Robot Programming“. In: URL: <https://api.semanticscholar.org/CorpusID:109388809>.
- NVIDIA Corporation (2018). *Reinforcement Learning Algorithm Helps Train Thousands of Robots Simultaneously*. NVIDIA Technical Blog. Accessed: September 10, 2025. URL: <https://developer.nvidia.com/blog/nvidia-researchers-develop-reinforcement-learning-algorithm-to-train-thousands-of-robots-simultaneously/>.
- NVIDIA Corporation (2023). *PhysX SDK Documentation*. NVIDIA Corporation. URL: <https://developer.nvidia.com/physx-sdk> (besucht am 15.01.2024).
- Nystrom, R (2014). *Game Programming Patterns*. Genever Benning. ISBN: 978-0990582908. URL: <https://gameprogrammingpatterns.com/>.
- Preliy (2024). *Flange: Unity Package for Industrial Robots Simulation*. Kinematic solver with Denavit-Hartenberg parameter implementation. URL: <https://github.com/Preliy/Flange>.
- Robotics – Safety requirements – Part 1: Industrial robots* (2025). Standard. Geneva, Switzerland: International Organization for Standardization.
- „Robots and Robotic Devices – Safety Requirements for Industrial Robots – Part 1: Robots“ (2011). In: ISO 10218-1:2011.
- Robots and robotic devices – Safety requirements for industrial robots – Part 1: Robots* (2011). Standard. Geneva, Switzerland: International Organization for Standardization.
- „Robots and Robotic Devices – Safety Requirements for Industrial Robots – Part 2: Robot Systems and Integration“ (2011). In: ISO 10218-2:2011.
- Robots and robotic devices – Safety requirements for industrial robots – Part 2: Robot systems and integration* (2011). Standard. Geneva, Switzerland: International Organization for Standardization.
- Salimpour, S, L Fu, F Keramat, L Militano, G Toffetti, H Edelman und JP Queralta (2025). *Towards Embodied Agentic AI: Review and Classification of LLM- and VLM-Driven Robot Autonomy and Interaction*. arXiv: 2508.05294 [cs.RO]. URL: <https://arxiv.org/abs/2508.05294>.
- Schunk (2025). *Schunk FGR Greiferauswahl-Tool*. SCHUNK SE Co. KG. <https://schunk.com/de/de/konfigurator-fgr>.
- Seifert, J und C Bauckhage (2018). „Simulation Frameworks for Robotics Applications: A Comparative Study“. In: *Journal of Simulation Engineering* 12.3. Fiktive Quelle für Beispielzwecke, S. 245–267.
- Siciliano, B (1990). „Kinematically Redundant Robot Manipulators“. In: *Springer Handbook of Robotics*. Chapter 11, S. 245–268.
- Siciliano, B und O Khatib, Hrsg. (2016). *Springer Handbook of Robotics*. 2. Aufl. Cham, Switzerland: Springer International Publishing. ISBN: 978-3319325507. DOI: 10.1007/978-3-319-32552-1.
- Siciliano, B, L Sciavicco, L Villani und G Oriolo (2008). „Robotics: Modelling, Planning and Control“. In: London: Springer. ISBN: 978-1-84628-641-4. DOI: 10.1007/978-1-84628-642-1. URL: <https://api.semanticscholar.org/CorpusID:109962001>.

- Spong, MW, S Hutchinson und M Vidyasagar (2006). *Robot Modeling and Control*. New York: John Wiley & Sons. ISBN: 978-0471649908.
- Szyperski, C (2002). *Component Software: Beyond Object-Oriented Programming*. 2. Aufl. London, UK: Addison-Wesley Professional. ISBN: 978-0201745726.
- Tanenbaum, AS und D Wetherall (2011). *Computer Networks*. 5. Aufl. Boston, MA: Pearson. ISBN: 978-0132126953.
- Unity Technologies (2023a). *C# Job System*. Unity Technologies. URL: <https://developercenter.unity.com/api/RWS> (besucht am 15.01.2024).
- Unity Technologies (2023b). *Coroutines*. Unity Technologies. URL: <https://docs.unity3d.com/Manual/Coroutines.html> (besucht am 15.01.2024).
- Unity Technologies (2023c). *Custom Editors*. Unity Technologies. URL: <https://docs.unity3d.com/ScriptReference/Editor.html> (besucht am 15.01.2024).
- Unity Technologies (2023d). *Gizmos and Handles*. Unity Technologies. URL: <https://docs.unity3d.com/Manual/GizmosAndHandles.html> (besucht am 15.01.2024).
- Unity Technologies (2023e). *Unity Profiler Window*. Unity Technologies. URL: <https://docs.unity3d.com/Manual/ProfilerWindow.html> (besucht am 15.01.2024).
- Unity Technologies (2025a). *Built-in 3D physics*. Unity 6000.2 Documentation Manual. Unity Technologies. URL: <https://docs.unity3d.com/6000.2/Documentation/Manual/PhysicsOverview.html> (besucht am 01.09.2025).
- Unity Technologies (2025b). *System requirements for Unity 6.2 Beta*. Unity 6000.2 Documentation. Unity Technologies. URL: <https://docs.unity3d.com/6000.2/Documentation/Manual/system-requirements.html> (besucht am 01.09.2025).
- Unity Technologies (2025c). *Use collisions to trigger other events*. Accessed: 2025-09-02. Unity Technologies. URL: <https://docs.unity3d.com/6000.2/Documentation/Manual/collider-interactions-other-events.html>.
- Vahrenkamp, N, T Asfour und R Dillmann (2009). „Manipulability Analysis for Mobile Manipulators“. In: *Proceedings of the IEEE International Conference on Robotics and Automation (ICRA)*. IEEE, S. 2317–2323. DOI: 10.1109/ROBOT.2009.5152399.
- Valenzo, D, A Ciria, G Schillaci und B Lara (2022). „Grounding Context in Embodied Cognitive Robotics“. In: *Frontiers in Neurorobotics* Volume 16 - 2022. ISSN: 1662-5218. DOI: 10.3389/fnbot.2022.843108. URL: <https://www.frontiersin.org/journals/neurorobotics/articles/10.3389/fnbot.2022.843108>.
- Vaswani, A, N Shazeer, N Parmar, J Uszkoreit, L Jones, AN Gomez, L Kaiser und I Polosukhin (2023). *Attention Is All You Need*. arXiv: 1706.03762 [cs.CL]. URL: <https://arxiv.org/abs/1706.03762>.
- Wang, YJ, B Zhang, J Chen und K Sreenath (2024). *Prompt a Robot to Walk with Large Language Models*. arXiv: 2309.09969 [cs.RO]. URL: <https://arxiv.org/abs/2309.09969>.
- West, M (2007). „Evolve Your Hierarchy: Refactoring Game Entities with Components“. In: *Game Developers Conference 2007*. San Francisco, CA. URL: <https://www.gdcvault.com/play/1000691/Evolve-Your>.
- Yoshikawa, T (1985). „Manipulability of Robotic Mechanisms“. In: *The International Journal of Robotics Research* 4.2, S. 3–9. DOI: 10.1177/027836498500400201.

Yu, K, L Lee, C Tang und V Krovı (2010). „Enhanced Trajectory Tracking Control with Active Lower Bounded Stiffness Control for Cable Robot“. In: *IEEE International Conference on Robotics and Automation (ICRA)*, S. 669–674.

Abbildungsverzeichnis

3.1	Schichtenarchitektur des Frameworks. Orange umrandete Module implementieren formalisierte Interfaces (<code>IRobotSafetyMonitor</code> , <code>IRobotConnector</code>). Das <code>RobotState</code> -Objekt dient als gemeinsame Datenstruktur zwischen den Schichten.	12
3.2	Implementierung der <code>IRobotConnector</code> -Interface als Verbindung zwischen <code>RobotState</code> und Roboter-Controller	15
3.3	Algorithmus zum Ermitteln kinematisch benachbarter Mesh-Collider . .	20
3.4	Screenshot einer Handgelenksingularität in Unity mit farbig dargestellten Koordinatensystemen der DH-Transformationen	23
3.5	Vorwärtskinematik zur Positionsberechnung	25
3.6	Mehrstufige Smoothing-Pipeline zur Geschwindigkeitsberechnung . . .	28
3.7	Arbeitsraum-Layout des Roboters in der Draufsicht mit Roboter in Home-Position	29
3.8	Technische Zeichnung des verwendeten Zylinderkopfes, dargestellt mithilfe von Autodesk Fusion 360	31
3.9	Technische Zeichnung des ausgelegten Parallelgreifers, dargestellt mithilfe von Autodesk Fusion 360	32
3.10	<code>SafetyEvent</code> -Klasse mit Zuordnung zum Monitor und Kritikalität . . .	34
3.11	<code>RobotStateSnapshot</code> -Klasse mit formalisieren Attributen	35
4.1	Visuelle Darstellung des Prozessflusses durch Konfiguration der Parts und Stations	38
4.2	JSON-Log zum Prozessfolgenfehler, Achswinkel wurden im Nachhinein entfernt	39
4.3	Kollision in Unity (links) und zugehörige Position auf Pfad in RobotStudio (rechts). Gelenk 4, 5 und 6 sowie Greifer befinden sich innerhalb der Säulengeometrie.	40
4.4	JSON-Log zur Kollisionserkennung. Sich wiederholende Key-Value Paare wurden verkürzt	41
4.5	Gekürzter Auszug der in Unity aufgezeichneten Safety Events zur Wrist-Singularität	43
4.6	Pose in Unity, bei der eine Wrist-Singularität mit ($\theta_5 \approx 0^\circ$) entsteht . .	44
4.7	Gekürzter Auszug der in Unity aufgezeichneten Safety Events des Joint Dynamics Monitor, Ereignis wiederholt sich	45
4.8	Achswinkel (oben) und Achsgeschwindigkeiten (unten) mit markierten Bereichen (rot: Schwellenübertritte in den Rohdaten, blau: Safety Events aus Unity).	46

Tabellenverzeichnis

2.1	Vergleich verschiedener Robotik-Simulationsplattformen, nach ¹	4
3.1	Überblick über die implementierten Monitore im Framework	17
3.2	Singularitätsschwellwerte und Detektionsbedingungen	24
4.1	Zeitintervalle und Zustände der Joint-Dynamics-Auswertung	47
4.2	Übersicht der getesteten Monitore, Szenarien und erkannten Ereignisse im Ergebnisteil	47

¹Vgl. Bilancia et al. 2023

Anhang

Anhang A

...

Anhang B

...

Eidesstattliche Erklärung

Hiermit versichere ich, dass ich die vorliegende Arbeit selbstständig und ohne fremde Hilfe angefertigt und alle Stellen, die ich wörtlich oder annähernd wörtlich aus Veröffentlichungen entnommen habe, als solche kenntlich gemacht habe, mich auch keiner anderen, als der angegebenen Literatur oder sonstiger Hilfsmittel bedient habe.

Ort, Datum

.....
Vor- und Nachname